

Cycl

v 1996

1841

CuCl (Cp)

Rignault

Amm. chem. phys. 1841, 1, 129



Be.

V 1980

1880

Berthelot M.

157. Ann. chim. phys. 20, 504 (1880).

CuI, CuCl, k (Δ Hf, Δ Haq)

Circ. 500

W.

F

Cull

(Tm, Tz)

BP-I-360

1906

Bp-3859-V

Nöckomeyer

Neues Jahrb. Minen.

Geol. Beilage.

1906, Bd. 22, 1-47

MHS

orion 2923

1906

Cull

Thompson M.R.

свободн-

заряд

J. Am. Chem. Soc. ?
1906, 731 - 767

CuCl

B90-5394-III
B9-1990-V

1918

Noyes A.A., Chow M.

(dH)

"J. Am. Chem. Soc"
1918, 40, 739.

1922

CuCl

Σp_i ,

Trenn

T_{nu.}

Wartenberg H.

Z. Elektrochem. 1922, 28, 384

Cull Bp-1062-VII 1925

Maier C.G.
U.S. Bur. Mines
(Tm, Tb, P) Tech. Paper N 360
Dep. Interior., Washington,
1928, 54 pp.

v 1984

1926

Jellinek and Uloth

l. Z.physik. Chem. 119, 161 (1926)

:

CuCl (ΔH_f)

Circ. 500

W.

F

$\text{CuCl}(\text{K})$, $\text{FeCl}_2(\text{K})$

1927

$\text{PCl}_2(\text{K})$, $\text{ZnCl}_2(\text{K})$

N24608

$k_p(T)$

Bagdasarian A.B. "Reduction
of metallic chlorides by

$\Delta_f G^\circ$

"hydrogen". Trans. Amer. Electro-
chem. Soc. 1927, 51, 449-494

(+3)

☒

6/24/1928



M. E.

Bep - V 2006

1928

Ci, C₂,
MnS₂ (kp)

Agostini P.,

Atti accad. nazl. Lincei. Classe
sci. fis. mat. e nat. 1030-1032
(1928)

Circ. 500.

B.

V 1992

1928

CuCl, kp, Δ Hf

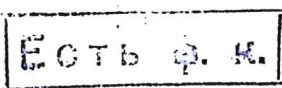
~~S.N.~~
Parrovano, Malquori g.

Atti. Acad. Lincei, 1928, 7, 109 - 112

MoS₃, MoS₂, kp, Δ Hf

w.

F



v 2000

1930

Watanabe

4. Sci. Papers Inst. Phys. Chem. Research
(Tokyo) 12, 251 (1930)

CuCl (ΔH_f , ΔF_f)

Circ. 500

W.

F

Cull

ZP-1-84

11/18/83

Klemm W., Jacobi H.

PA 801

E. Murray. Allegem. Chem.
1932, 207 174-186



G. G. Vp; S. of.

V 2001
1933

Katanabe M.

S. Science Dept., Tohoku Imp. Univ.
I 22, 423 (1933)
435

Circ. 500



M, 5

V 2022

1934

Kgure (CuCl^+ ; CuCl_2 ; CuCl_3^- ; CuCl_4^{--})
 CuBr^+ ; CuBr_2 ; CuBr_3^- ; CuBr_4^{--})

Riley H.L., Smith H.C.

J.Chem. Soc., 1934, 1448-9

Copper halides

E.G.V.D. Jr. H.

CA, 1935, 6654

Ja.

Est.f.k.

V 1981

1950

CuCl, Cu₃Cl₃, CuBr (ΔHf, D)

Brewer L., Lofgren N.L.

J. Am. Chem. Soc., 1950, 72, 3038-45

The thermodynamics of gasous cuprous chloride monomer and trimer.

EOTB A. H.

CA, 1950, 44, 8716f

M., J.

Est. fotok.

4926

PtCl₂, CuCl₂ Paste

1934

Б-ка ОХИ

Тарасенков Д.Н., Григорьевич А.Н.,
Богдановский А.В.

Общирный широкий
спектр исследован методом отражения
ультрафиолета широким спектром соди-
ионами. Упомянута широкая PtCl₂ и CuCl₂

В "Сборнике геохимических работ
УГИИЦУВЕТМ БТ'а", том 1, Н., Механ-
ико-минерал., 1934, 69-88

VI 3697

1935

PbO_2 ; CuO_2 ; CuCl_2 ; ZnCl_2 ; ZnSO_4

NaCl_2 ; FeCl_2 (Op)

Краснодарский, Кавказский
журнал, 1935, 6, 68,
955-61

Bo

v 1985

1936

Kapustihcki A.F.

5. J.Am. Chem. Soc. 58, 460-3 (1936)

CuCl δ Hf

Circ. 500

w.

Est. fátok.

E C T L N. M.

CuCl

1936

Красовский А.Н., Карапников Г.А.

МОХ, 1936, т. 6, стр. 955

H-H,] данные не надежные!
Cp]

$$\Delta H_m = 2,54 \text{ ккал/моль} = 10,6 \text{ кДж/моль}$$

В JANAF приведено $10,23 \pm 2,1 \text{ кДж/моль}$

Мы привели

$$\Delta H_{t_2}(685 \text{ K}) = 6,5 \text{ кДж}$$

$$\Delta H_w(696 \text{ K}) = \underline{7,08 \text{ кДж}} \\ \leq 13,58!$$

72009 | 1936

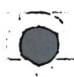
6764

(CuCl, CuCl₂, PbCl₂, ZnCl₂, NiCl₂,
FeCl₂ (Cp, Hm, Pm)

Krestovnikoff A.H., Kapetanukoff T.A.
J. Gen. Chem. (U.S.S.R.) 1936, 6,
955-61

"Specific heats of ...

Be



[Hovis, R.]

6756

7815 [1936]

$\text{Fe}(\text{FeCl}_2, \text{CuCl}_2, \text{ZnCl}_2, \text{CdCl}_2, \text{AgCl})$

J. H. Campbell & H.

~~Accepted Wisconsin State Univ. 1936,~~
B 6, 61-76

"Vapor pressure of salts of ..."

Yr. 3 m. Molt. yr. - Fr.

Da. (M)



VI 3885

1940

-V-205-

Stevenson

J. Chem. Phys., 1940, 8, 898

InH, InCl, InBr, InJ, CdCl (g, S)

TlBr, TlJ, ZnJ, ZnBr, CuCl, CuBr, CuJ, AgCl (g, S, Cp)

CdBr (g, Ff)

HgCl, HBr, HgJ (g, Hf, S, Cp)

J, M



E C 7 3 0 1 1 F

V 1994 (950)

C_2H_2 , CuCl, $3CuCl \cdot C_2H_2$, $2CuCl \cdot C_2H_2$
(F°, H°, S°)

Osterlöf J.

Acta Chem. Scand., 1950, 4, 374-85

Copper compounds of ...

CuCl

1

V 2021

1951

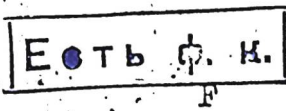
CuCl⁺, Cu(OOCCH₂NH₂)⁺, Cu(OOCCH₂NH₂)₂ (K)

Monk C.B.

Trans. Faraday Soc., 1951, 47, 285-91

Electrolytes in solutions of amino acids. II
Cupric complexes of glycine, alanine, and
glycylglycine.

CA, 1951, 8329a



Ja.

6749

11954
V 12.14

$\text{Ba}(\text{AgCl}_2)$, CuCl_2 , CdCl_2 , SnCl_2 , PbI_2O_3 ,
 NaNO_3 , K_2O_3 , AgNO_3 , NaNO_2 , H_2O_2)

Ushiku

J. Chem. Soc. Japan. Pure Chem. Soc.,
1954, 25, N 2, 182-189

Chem. Abstrs., 1954, 48, 12492

ОБЩЕСТАВИТЕЛЬСТВО СОСТОЯЛО...

Be

V 1971

1954

AgCl, AgF, AgBr, AgI, CuCl, CuF, CuBr, CuI

Kordes E., Libera L.

Z. phys. Chem. (Frankfurt), 1954, 1, N 3-4

211-240

Bestimmung der Dissorziationsdrucke
von Silber- und Kupfer I- Halogeniden nach
der Anlaufmethode.

PJX., 1956, N 5, 12362
M.

Есть ф. к.
F

VI 3822

L1954

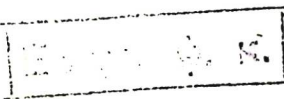
AgCl, CuCl, CdCl₂, AgNO₃, ZnNO₃, PbCl₂,
SnCl₂, NaNO₃, KNO₃, KNO₂, NaNO₂, KCl-PbCl₂,
KCl-CdCl₂, KCl-CuCl₂ (Tm)

Sakai

J. Chem. Soc. Japan, Pure Chem. Sec.,
1954, 75, 182 - 189



5



(Он. 22562) v 2005

11954

CuCl_2 (P, Tm, ΔF , ΔS , ΔH , S, ΔS_f); CuBr_2 (P, ΔH , ΔF , ΔS);
 CuCl (Kp, P, Tm, ΔF , ΔS , ΔH , S, ΔS_f); CuBr (Kp, P, Tm, ΔF ,
 ΔS , ΔH).

Изупарев С. А., Офанская М. А.

Ж. общ. химии, 1954, 24, № 11, 1926-35

О термической устойчивости галогенидов
меди.

РЖХ, 1955, № 23, 54624

Be., M. F.

Розенсмарк

1955

CuCl

CuBr

CuI₂

P

J. Ch. Ph., 1955, 23, N12, 2442

Macromercur CuCl, CuBr & CuI

BD-XVI-0026

1989

Bd - V. 1989

CuCl (Ttr)

Lorenz M.R., Prener J.S.

Acta crystallogr. 1956, 9, N 6, 538-39

Preliminary study of a high-temperature
phase in cuprous chloride.

PJX., 1957, 14462

Be.

ECTL Q. H.

Est.fotok.

1.35

S

Magee D.W.

Mag.

Diss. Abstr. 1856, 16, 35

(Call)

Onregelmässige Gehirnveränderungen,
insbesondere jenseitig der Körperfurche
metamorphische Tumoren - effusionen

P(25)

Ch. d. 1856, 68603



VI-3898

1956

Мартов 5. 90.

Cult

III 902, 1956, 30 №'ы 1537-1539.

Встреченные виды грибов -
нередкие соревнующие виды
обилие которых
но З.Г.С. и Маркела Григорьевича
Колија разделяются
на две группы: 1) вида, в
которых грибы -

902 - 5-7-9 - 29888.

(Cu)

Бор - 1932 - V

Сано, Оказами. 1958.

CuCl₂) Sano Kōkichi, Okazawa K.

CuO Тэцу то харото, Тэцу то хагани
of Iron and Steel Inst. Japan,
1958, 44, N 8, 859-865.

Изучение плавильнойreak-
ции 2 CuO (мб.) + Cl₂ (газ) =
= 2 CuCl (анидрид) + O₂ (газ) и его
влияния на свойства CuCl.
РФФСР - МИИТ

X-59-9-30429

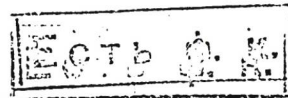
ар. 100р.

Угольные кирпичи синего цвета
или же из красного кирпича
— 1.

V 1932

CuO (K_p, ΔH, ΔF)

CuCl (K_p, ΔH, ΔF)



Sano K., Okajima K.

J. Iron and Steel Inst. Japan, 1958, N 8,
859-65

Узкое равновесие между $2\text{Cu}(\tau) + \text{Cl}_2(\gamma) = 2\text{CuCl}_{(\text{тн})} + \text{O}_2$ и способом получения CuO. (Рассмотрено кинетическое изучение процесса сушки избыточного меди из перитового отарка. -I).

PJX, 1959, 30429

M.

Est. fotok.

ZnS, CdS, CdCl₂, Cu₂S, ZnCl₂

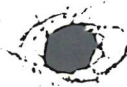
CuCl (Kp)

У814 | 1955

Гарбасов Г.Н., Адаменко Р.С.,
Курдов Н.Н.

Изв. АН Наз. ССР. Сер. Металлургия,
обогащении и обесцвечивании, 1955, вып. 2,
15-25 о разновидности сульфидо-железистых
минералов.

Б.Л., 1955, 23666



Бест в. н.

еск. срк

OM 22559 V-2004

196

Cell

7Б360. Давление насыщенного пара бромистой и хлористой меди. Федоров П. И., Шахова М. И. «Изв. высш. учебн. заведений. Химия и хим. технол.», 1961, 4, № 4, 550—558.—Методом точек кипения и методом струи определено давление насыщ. пара бромистой меди в интервале 400—800°. Сопоставление эксперим. данных, полученных этими двумя методами, указывает, что бромистая медь при $t_{-ре} > 450^{\circ}$ присутствует в парах в виде утроенных молекул Cu_3Br_3 . Ниже этой т-ры имеет место дальнейшая ассоциация молекул бромистой меди. Методом струи определено давление насыщ. пара хлористой меди при 400—800°. Сопоставление эксперим. данных с имеющимися в литературе данными по давлению насыщ. пара хлористой меди, найденными методом точек кипения, позволяет заключить, что при $t_{-ре} > 475^{\circ}$ хлористая медь образует в парах утроенные молекулы. Ниже этой т-ры имеет место дальнейшая ассоциация с образованием ушестеренных молекул Cu_6Cl_6 .

Резюме авторов

2. 7. 1962

+1



Ag Br

VI-3902
11361

CuCl ($\Delta H, \Delta Z$), BCl₃ ($\Delta H, \Delta Z$), BeCl₃ ($\Delta H, \Delta Z$),
Eicser K.H., Elias H., Kohlschutter H.W.,
Z.anorgan. und allgem. Chem., 1961, 313,
H 3-4, 199-206.

Darstellung von wasserfreien, flüchtigen.
Metallhalogeniden in geschlossener Apparatur.
II. Darstellung von Halogeniden des Bors
und Siliciums.

RK., 1962, 17610

Ext/orig.

B

БР-3443-IV

Shelton R.H.

I96I

СиCl

4Б34I

СиЧ

СиВ2

Давление паров галогенидов меди.

Ратш

"Trans. Faraday Soc.", I96I, 57, №12,

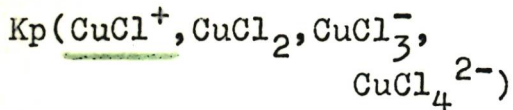
2II3-2II8

X-I963-4

(си. СиЧ) I

1962

V-3399



Morris D.F.C., Short E.L.

J.Chem.Soc., 1962, JuLy, 2672-75.

Stability constants of copper (II)
chloride complexes.

Est/orig.

RX., 1963, 19B30 Ja,

3025-V

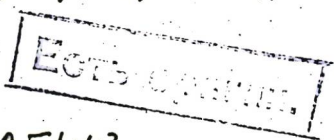
~~4/21/1955~~

~~011~~

CuCl₂, CuCl (K₂SO₄, aq. OH₂,
a. 3.v)

1964

Hammer Robert R., Gregory N.W. Va-
porization reactions in the copper
chloride - chlorine system. " J. Phys.
Chem.", 1964, 68, N 11, 3229-3233



Биб

/англ./

Рнж, 1965, 225443

ВКЛЮЧЕНИЕ 664

β , δ -CuCl XVI-6007. 1964

Lawn B. R.

Кристалл.
эмпир. Acta crystallogr.,
1964, 17, N 11, 1341-47.

3373-VI

1964

AgJ, CuJ, CuBr, CuCl (T_{tr})

Von Valkenburg A.

J.Res. Nat. Bur. Standards, 1964, A68, N 1,
97-103

High pressure microscopy of the silver and
cuprous halides.

PJX, 1964, 24б557

Be.

Бестформен.

Cell +

VI-4976

1965

) 22 B62. Комплексы иона двухвалентной меди. De-vendran V. P. Santappa M. Complexes of cupric ion. «Current Sci.» (India), 1965, 34, № 5, 145—146 (англ.)

Спектрофотометрическими методами Жоба и мол. отношений изучено комплексообразование $\text{Cu}^{(2+)}$ с анионами Cl^- , а также с X — анионами муравьиной, пропионовой, молочной, β -оксипропионовой, итаконовой и изомасляной к-т, в водн. р-ре. Рассчитана константа устойчивости (K) комплекса CuCl^+ , а также изменение энталпии (ΔH°) и энтропии (ΔS°) р-ции образования этого комплекса (при 25° и ионной силе $\mu = 1$): $K = 0,297$:

К усн;

ΔH° ,

ΔS°

X. 1966.22

$\Delta H^\circ = 4834$ кал/моль, $\Delta S^\circ = 15,979$ энтр. ед. Показано, что Си образует с X комплексы типа 1 : 1. Степень диссоциации этих комплексов, рассчитанная по ур-нию $\alpha = (E_m - E_c)/E_m$, где E_m — макс. поглощение комплекса, определенное по оптич. плотности р-ра с мол. отношением Cu : X = 1 : 400, а E_c — то же при Cu : X = 1 : 1, равна 0,89; 0,94; 0,92; 0,84; 0,9 соотв. С использованием величин α , найдены значения K (в скобках т-ра опыта в °С и μ): 2(28;0,5); 2,3(30;0,1); 2,55(31,5;0,1); 2,05; 5; 2,44(30;0,1) соответственно.

Е. Разгон

1965

CuI
CuCl₂
Bi₂S₃
p-p в
брасове)

Kotsp.
актоби.

An electromotive force series of metal chlorides in fused organic salts. III. Copper(I), copper(II), and bismuth(III) chlorides in fused dimethylamine hydrochloride. A. Kisza (Univ. Wroclaw). *Bull. Acad. Polon. Sci., Ser. Sci. Chim.* 13(6), 409-13 (1965)(Eng); cf. CA 62, 11420e; following abstr. E° was detd. at 170-196° and is given by $a + b \times 10^{-4}$. The logarithm of the activity coeff. K , was calcd. from $(\Delta G^\circ' - \Delta G^\circ)/2.3RT$, where $\Delta G^\circ' = -nFE^\circ'$ and ΔG° is the standard free energy for the reaction. The consts. a and b and the 180° value of K are given, resp., for the following couples: Cu(I)-Cu(0), -0.03-533, -8.14, 7.3×10^2 ; Cu(II)-Cu(I), 0.40515, -2.07, 1.4×10^4 ; Cu(II)-Cu(0), 0.18491, -5.10, 1.1×10^6 ; Bi(III) - Bi(0), -0.16887, -3.15, 3.0×10^{10} . Richard L. Every

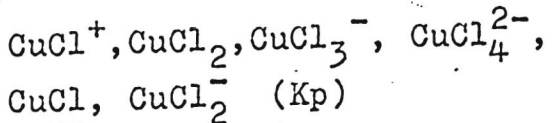
+2

C. A. 1966. 64.6

4430h



1965



VI-4498

Manahan S.E., Iwamoto R.T.

Inorgan.Chem., 1965, 4, N10, 1409-13.Chloro complexes of copper (II) and copper in
acetonitrile.

RX., 1966, 12B83 W,

F

Cu Cl

Stern K. H.
Meador S. E.

1965

ΔH_f

800-900 °C

BTT, N 8, ceepr. 14.

1966

VI-4519

CoCl^+ , NiCl^+ , CuCl^+ , CoBr^+ ,
 NiBr^+ , CuBr^+ (ΔZ , ΔH , ΔS)

Kennedy M.B., Lister M.W.

Canad. J. Chem., 1966, 44, N14, 1709-16.

Heats of association of aqueous copper,
nickel, and cobalt ions with halide ions.

RX., 1967, 8B142

M, Ja,

F

1967

VI-4663

CuCl_2^- , $\underline{\text{CuCl}^-}$, CuCl_2 ,
 CuCl_3^- (Kp)

Manahan S.E., Iwamoto R.T.

J. Electroanalyt. Chem., 1967, 13, N4, 411-17.

Chloro complexes of copper(II) and copper(I) in methanol, ethanol, 2-propanol, "2 butanol and acetone.

RX., 1968, 3B59 W, Est/orig.

CuCl

VI-5714

1967

57902h Growth of single crystals of Cu(I) halides, especially CuCl, from the vapor phase. A. Neuhaus and K. Recker (Univ. Bonn, Ger.). *J. Phys. Chem. Solids, Suppl.* No. 1, 235-40 (1967)(Ger). CuCl single crystals have been grown from the vapor in an evacuated tube by a special method, which is described. The surface of the growing crystal was at 360° ; this is 47° below the point of transformation hexagonal-cubic. The required ultrapure CuCl-material was prep'd. by vacuum-sublimation and zone-refining. Sublimation occurred at 380° , hence $\Delta T = 380 - 360 = 20^\circ$. The crystals, 20 mm. long with a diam. of 9 mm., were and remained (at least for months in a desiccator) colorless and ideally transparent in the visible region. The morphology of the crystals was: plane and smooth (111)- and (100)-faces besides brilliant rounded areas. Their character as

Taylor

C.A. 1967. 07. 12

single crystals was proved by etching methods and Laue x-ray diagrams. By the same method there have also been prep'd. colorless and ideally transparent CuBr crystals of equal size. However, it is more difficult to prep. these crystals because of the higher m.p. (492°) and the much lower point of transformation (385°), that means a lower applicable sublimation-pressure (lower transport-efficiency) and a large tendency for polycrystal-growing.

RCKH

CuCl

V-6148

Баскесов B.T.

Баскесов B.H.

1967

K_C, ΔH

Mr. jeep. мессенер,
41(4), 1645.

(Cu·KF) I

BP 5714-LT

1967

CuCl (Tm, Tcr)

Neuhäusl A., Recker K.,
g. Phys. chem. Solids,
Suppl. 1967, N1, 235-40.

1968

B91-5390-VI

CuCl

7 Б857. Фазовые диаграммы галогенидов одновалентной меди при высоких давлениях. Raport Eliezer, Pistorius Carl W. F. T. Phase diagrams of the cuprous halides to high pressures. «Phys. Rev.», 1968, 172, № 3, 838—847 (англ.)

На фазовых диаграммах CuCl и CuBr при давл. до 40 кбар наблюдаются 3 твердых фазы и жидкость. Найдена новая фаза CuCl, предположительно с неупорядоченной кубич. объемноцентр. структурой. Область стабильности гексагон. CuBr-II кончается при 6,1 кбар. При более высоких давл. наблюдается прямой переход

X 1969

7

от структуры цинковой обманки к неупорядоченной кубич. объемноцентр. Фазовая диаграмма CuI включает не менее 7 твердых фаз. Гексагон. CuJ-II существует до давл. 2,2 кбар. Кривые плавления неупорядоченных кубич. объемноцентр. фаз CuCl и CuBr вначале круто поднимаются при увеличении давл., затем при давл. ~25 и ~30 кбар соотв. сглаживаются. Это явление приписывается присутствию более плотных частиц в расплавах.

Резюме

CuCl

1 E482. Фазовые диаграммы галоидов меди при высоких давлениях. Rapoport Eliezer, Pistorius Carl W. F. T. Phase diagrams of the cuprous halides to high pressures. «Phys. Rev.», 1968, 172, № 3, 838—847 (англ.)

Методом дифференциального термического анализа в аппарате типа поршень—цилиндр построены $T-p$ -диаграммы CuCl, CuBr и CuJ (до 40 кбар). Если для CuCl и CuBr $T-p$ -диаграммы сравнительно просты и схожи между собой, то для CuJ имеет место довольно сложная диаграмма (не менее 7 фаз в твердом состоянии), что можно объяснить большой поляризацией иона J. Кривые плавления CuCl и CuBr характеризуются заметным отклонением от уравнения Симона, для объяснения которого авторы используют двухчастичную модель жидкости.

Библ. 41.

А. В. Омельченко

1969

CuCl

Carre J. u gp.

Bull. Soc. Chim. Fr.,
N° 2322.

Gp

H-H⁰

T_m, T_r

(cu. AgCl) I

VI-4191

1969

CeCl

11 Б1251. Тензиметрическое исследование испарения хлоридов меди. Поляченок О. Г., Дидинский Э. А. В сб. «Общ. и прикл. химия». Вып. 1. Минск, «Вышэйш. школа», 1969, 81—89

Cu₂Cl₂

Статическим методом с кварцевым мембранным нульманометром измерено давление насыщ. хлористой меди CuCl $\lg P (\text{мм}) = 5,646 - 4463/T$. При средней т-ре 1188° К определен молек. вес газ. хлористой меди, равный 344 ± 2 , что соответствует 53 мол. % тримера и 47 мол.% тетрамера. При т-ре плавления CuCl в насыщ. паре имеются преимущественно молекулы Cu₃Cl₄. Получены термодинамич. характеристики газ. CuCl ($\Delta H_{1188}^0 = 22$, $S_{1188}^0 = 67$); Cu₂Cl₂ ($\Delta H_{1188}^0 = -10$, $S_{1188}^0 =$)

p

ΔH

X·1970. 11



$\bar{=}$ 116); $\underline{\text{Cu}_3\text{Cl}_3}$ ($\Delta H_{1188}^0 = \underline{-42}$, $S_{1188}^0 = 165$) и $\underline{\text{Cu}_4\text{Cl}_4}$ ($\Delta H_{1188}^0 = \underline{-70}$ ккал/моль, $S_{1188}^0 = 210$ э. е.). Высказано предположение, что в паре могут присутствовать молекулы с $n > 4$. При исследовании испарения CuCl_2 найдено, что двуххлористая медь находится в паре преимущественно в виде димерных молекул. Резюме

$CuCl(P, \Delta H, \Delta S)$ 6 1969
 $(CuCl)_n (\Delta H, \Delta S)$ VI 7191

Гончарук О.Г., Дудченко З.А.
В сб. „Опыт. и пром. химия”. Вып. 1.
Минск, „Вышэйш. школа”, 1969, 81-89
При изучении термического и структурного
изменения купородов между

РНК № 1970 6 един. ориг.
1161251 6 5 Ⓢ

VI-7191

1969

Accel(2)

130670g Tensimetric study of copper chloride evaporation.
Polyachenok, O. G.; Didinskii, E. A. (USSR). *Obshch. Prikl.*

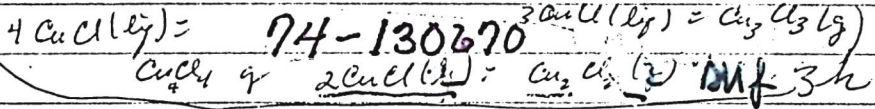
~~mechanical
vacuum
heat~~
 $\Delta H^\circ, \Delta S^\circ$
Khim. 1969, No. 1, 81-9 (Russ). From Ref. Zh., Khim. 1970,
Abstr. No. 11B1251. Satd. Cu chloride $CuCl$ $\log P$ (torr) =
 $5.046 - 4403/T$ was measured using a static method with a di-
aphragm zero-manometer. A mol. wt. of 344 for gaseous Cu
chloride was detd. at an av. temp. of $1188^\circ K$ which corresponded
to 53 mol. % trimer and 47 mol. % tetramer. Cu_4Cl_4 mols.
prevailed in the satd. vapor at the $CuCl$ m.p. Thermodynamic
characteristics of gaseous $CuCl$ ($\Delta H^\circ_{1188} = 22$, $\Delta S^\circ_{1188} = 67$);
 Cu_2Cl_2 ($\Delta H^\circ_{1188} = -10$, $\Delta S^\circ_{1188} = 116$); Cu_3Cl_3 ($\Delta H_{1188} = -42$,
 $\Delta S^\circ_{1188} = 165$) and Cu_4Cl_4 ($\Delta H^\circ_{1188} = -70$ kcal/mole, ΔS°_{1188}
 $= 210$ eu) were obtained. Mols. with $n > 4$ can participate in
the vapor. During the study of $CuCl_2$ evapn., Cu dichloride
was in the vapor predominantly in the form of dimer mols.

NBRK

+1

C.S. 1977.74.24

☒



130670g Tensimetric study of copper chloride evaporation.
Polyachenok, O. G.; Didinskii, E. A. (USSR). *Obshch. Prikl.*

4798-71

(1969)

Khim. 1969, No. 1, 81-9 (Russ). From *Ref. Zh., Khim.* 1970,
Abstr. No. 11B1251. Satd. Cu chloride CuCl log P (torr) =
 $5.046 - 4.403/T$ was measured using a static method with a di-
aphragm zero-manometer. A mol. wt. of 344 for gaseous Cu
chloride was detd. at an av. temp. of 1188°K which corresponded
to 53 mol. % trimer and 47 mol. % tetramer. Cu_4Cl_4 mols.
prevailed in the satd. vapor at the CuCl m.p. Thermodynamic
characteristics of gaseous CuCl ($\Delta H^\circ_{1188} = 22$, $\Delta S^\circ_{1188} = 67$);
 Cu_2Cl_2 ($\Delta H^\circ_{1188} = -10$, $\Delta S^\circ_{1188} = 116$); Cu_3Cl_3 ($\Delta H^\circ_{1188} = -42$,
 $\Delta S^\circ_{1188} = 165$) and Cu_4Cl_4 ($\Delta H^\circ_{1188} = -70$ kcal/mole, $\Delta S^\circ_{1188} = 210$ eu)
were obtained. Mols. with $n > 4$ can participate in
the vapor. During the study of CuCl_2 evapn., Cu dichloride
was in the vapor predominantly in the form of dimer mols.

NBRK

at 11/20/13 9

1969

CuA

83232n Reststrahlen frequencies and characteristic Debye temperatures of some heavier salts. Sharma, M. N. (Phys. Dep., Lucknow Univ., Lucknow, India). *J. Phys. Soc. Jap.* 1969, 27(6), 1691-2 (Eng). The reststrahlen frequencies and Debye temps. are calcd. for CuCl, CuBr, AgCl, AgBr, TlCl, and TlBr. These quantities are calcd. by using the ion pair reduced mass, the static and high frequency dielec. consts., and the force consts. evaluated by using the exptl. data for the various lattice properties in the force const. equations. The calcd. results taking into account the dipole-dipole and dipole-quadrupole interactions and the zero-point energy are in better agreement with expt. than values calcd. neglecting these factors and using the room temp. data under static lattice conditions. DWJN

A
B

+5

C.A.

1970. Feb. 16



CuCl₂(η_P) CuCl₂⁺, CuCl₃²⁻, Cu₂Cl₃²⁻(η_P) [1970]

Ahrend S., Rawsthorne J. - 6
J. VI 72318

Acta chem. scand., 1970, 24, N, 157-172 (cont.)

The stability of metal halide complexes in aqueous solution. VII. The chloride complexes of copper (I).

DH West, 1970

17865

○

BGP

8

Willcox) (Om. 29636) 1970

Bugden W. G., Shelton

R.A.J.

A_f G,

A_f H,

S^o₂₉₈

Inst. Mining Metall.

Trans., 1970, 79, sect C,
C215 - C220.

Do Case 055-7551 R-1089 1970

Do Myle Hildenbrand S. L.

Do Ball

Do Sice

Do Myle J. Chem. Phys. 1970,
52, n11, 5751-9

macC-Ar.

CeCl

Paudé K. P.

1830

Shanha M. N.

meprue

Kpucit.

perucirce

J. Phys. Soc. Jap., 29 (1),
236.

(Coll. NM, (c) I)

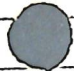
1970

CeCl

Phillips J. Ch.
Van Vechten J. A.

ΔH_f

Phys. Rev. B, 1970,
[3], 2, 6; 2147



(Ces. BN) I

CuCl⁺, CuBr⁺ (K_p)

6 VI 7229 [1970]

Sestili L., Farloni C., Ciana A.,
CarBassi F.

Electrochim. Acta, 1970, 15, N1, 225-235 (a.m.)

Polarography of copper (II)-halide complexes
in non-aqueous solvents.

Phil. Nachr., 1970

16363

B (P)

6

Cell

1970

124021j Equilibrium reactions in ionic liquids. Gas-molte:
salt equilibrium. Vilcu, Rodica; Georgescu, N. (Cent. Chim
Fiz., Acad. Repub. Soc. Romania, Bucharest, Rom.). *Stud.
Cercet. Chim.* 1970, 18(5), 473-86 (Rom). A review of chem.
reactions in molten salt systems. The topics covered include
the solv. of gases in molten salts, thermodynamic equil. in re-
actions with molten salts, and heterogenous equil. in ternary and
quaternary molten salt systems. Free energies, entropies, and
enthalpies were calcd., from the pressure of Cl, for the reaction
 $\text{CuCl}_2 = \text{CuCl} + \frac{1}{2}\text{Cl}_2$, in the ternary systems $\text{CuCl}_2\text{-CuCl-KCl}$,
 $\text{CuCl}_2\text{-CuCl-NaCl}$ and $\text{CuCl}_2\text{-CuCl-LiCl}$, and in the
quaternary system $\text{CuCl}_2\text{-CuCl-KCl-LaCl}_3$. The calcd. data
are presented at closely spaced intervals of concn. 46 refs.
through 1968.

G. Auslaender

C.A. 1970.73.24

CuCl

YANAF

1971

100 - 1500 °K

II wgg

(Crystall)

100 - 3000 °K

(Liquid)

(1966)

CuCl

1971

51132w Thermodynamic properties of cuprous chloride.
Banerjee, R.; Varshni, Y. P. (Dep. Phys., Univ. Ottawa, Ottawa, Ont.). *Solid State Commun.* 1971, 9(23), 2115-18 (Eng).
The phonon dispersion curves and thermodynamic properties of CuCl were obtained on the basis of a rigid-ion model. The phonon frequency distribution function shows an interesting feature; it has 4 sharp peaks.

newspaper
Ch - Ba

C.A. 1972. 76. 10

1941

Гоммикс 756

В.П. XVI-342

(Cu Cl)

Cu₃Cl₃

Cu₄Cl₄

Cu₅Cl₅

ΔH_v

D_0

δH_f

• 6 Б777. Масс-спектрометрическое исследование испарения хлористой меди и энергии диссоциации Cu₃Cl₃, Cu₄Cl₄ и Cu₅Cl₅. G.u.i.d.o M., Balducc i G., Gigli G., Spoliti M. Mass spectrometric study of the vaporization of cuprous chloride and the dissociation energy of Cu₃Cl₃, Cu₄, Cl₄, and Cu₅Cl₅. «J. Chem. Phys.», 1971, 55, № 9, 4566—4572 (англ.)

Масс-спектрометрически с использованием эффиузионного метода Кнудсена изучена газовая фаза в равновесии с хлористой медью. CuCl в газовой фазе полимеризован. Идентифицированы Cu₃Cl₃, Cu₄Cl₄ и Cu₅Cl₅. Измерены парц. давл. полимеров и приведены ур-ния, описывающие давл. паров (атм): lg P (Cu₃Cl₃) =

ЭЖХ,

1942, № 6

$=(7,18 \pm 0,26) - (7,37 \pm 0,17)/T \cdot 10^3$, $\lg P(\text{Cu}_4\text{Cl}_4) =$
 $=(7,28 \pm 0,24) - (7,56 \pm 0,16)/T \cdot 10^3$, $\lg P(\text{Cu}_5\text{Cl}_5) =$
 $=(7,33 \pm 0,41) - (8,96 \pm 0,27)/T \cdot 10^3$. Определены тепло-
ты испарения полимеров: $\Delta H_{640}^\circ(\text{Cu}_3\text{Cl}_3) = 33,7 \pm 0,8$,
 $\Delta H_{650}^\circ(\text{Cu}_4\text{Cl}_4) = 34,6 \pm 0,7$, $\Delta H_{665}^\circ(\text{Cu}_5\text{Cl}_5) = 41 \pm 1$.
Энергии диссоциации Cu_3Cl_3 , Cu_4Cl_4 и Cu_5Cl_5 равны,
соотв., 388, 527 и 661 ккал/моль, а теплоты образова-
ния из ионов равны, соотв., $-28,71$, $-38,71$ и
 $-48,48$ эв.

Б. Г. Пожарский

Cell

Bsp - 5278-X

1971

15 Б681. Установление кривых ликвидуса для систем CuCl—KCl и CuCl—RbCl. M. Igabel Philippe. Détermination des courbes de liquïdus des systèmes CuCl—KCl et CuCl—RbCl. «С. г. Acad. sci», 1971, C272, № 6, 534—537 (франц.)

Методом термич. анализа в атмосфере Ar изучены кривые ликвидуса и частично солидуса для систем CuCl (I) — KCl (II) и I — RbCl (III). Полученные данные отличаются от литературных. Т. пл. I, II и III соотв. 424; 772 и 723°. Т-ры эвтектик I-II и I-III соотв. 149 и 168°.

И. Н. Семенов

Tm

+2

X·1971.15



10903.1957
Ch

CuCl, CuBr

25071

(Kp)

XVI 343

Sláma I., Staňková J.

Assoziation von Kupfer(I)-Ionen mit
Chloriden und Bromiden in der eutektischen
Lithium- und Kaliumsulfatschmelze.

"Collect.Czech.Chem.Communis", 1971, 36, N6,
2354-2358 (пес.) 0445 ПИК

Винити

416 431 436

Gill

X-5417

1971

Thompson W.T, Flengas S.M.
H-T-Ho,
Can. J. Chem., 1971, 49
(9), 1550-63.

"Drop calorimetric measurements
of some chlorides, sulfides
and binary melts"

B9-X-VI-72g

1982

CuBr

CuCl

ΔH_v

ΔH_m

+

C.A. 1982. 77.4

25577w Vapor-phase absorbance and thermodynamic properties of cuprous chloride and cuprous bromide. Hilden, David L.; Gregory, N. W. (Dep. Chem., Univ. Washington, Seattle, Wash.). *J. Phys. Chem.* 1972, 76(11), 1632-7 (Eng). The temp. dependence of the near-uv optical absorbance spectrum of vapors in equil. with condensed phases of CuCl and of CuBr was observed. Results are used to derive enthalpies of vaporization, crystal-phase transition, and melting. Evidence that the absorbing species is the trimer is presented. Significant amts. of tetramer occur in CuCl vapor, but only minor amts. of tetramer occur in CuBr vapor. A value for the enthalpy of dissociation of Cu₂Br₂(g) to CuBr(g) is estd. from absorbance data obsd. in double-oven expts.

Се А

B92. XVI. 1-729

1872

Се Рз

20 Б691. Поглощение в газовой фазе и термодинамические свойства монохлорида и монобромида меди.
Hilden David L., Gregory N. W. Vapor-phase absorbance and thermodynamic properties of cuprous chloride and cuprous bromide. «J. Phys. Chem.», 1972, 76, № III, 1632—1637 (англ.)

В интервале 200—320 нм сняты УФ-спектры паров CuCl (I) и CuBr (II). Обнаружено, что максимум поглощения лежит при 223,5 нм для I и 229 нм для II. В интервале 670—780° К (I) и 700—800° К (II) сняты т-рные зависимости величины поглощения парами I и

X. 1972. 20

II. Эксперим. данные обрабатывали с использованием ур-ния $(AT/b)\lambda = -\Delta H^\circ/RT + N$, где A — поглощение, b — толщина ячейки, λ_{\max} — длина волны максим. поглощения, ΔH° — теплота фазового перехода, N — эмпирич. постоянная. Т-ные интервалы разбиты на три участка и рассчитаны теплоты испарения γ -CuCl; β -CuCl и CuCl (жидк.), β -CuBr; γ -CuBr; CuBr (жидк.), а также теплоты плавления и взаимных превращений модификаций I и II. Показано, что единственным поглощающим свет в этой области компонентом пара в обоих случаях является тример. Обнаружено, что в паре I и II присутствует нек-рое кол-во тетramerных молекул. Оценена энталпия диссоциации Cu₃Br₃ (газ) до CuBr (газ).

П. М. Чукуров

Cull

Peterson D.E.

1972

Report, 1972, COO-1140-207,
485 pp. (Eng) Avail. Dep. NTIS.

From. Nucl. Sci Abstr. 1974, 29(1)
2358.

$P; \Delta H_s;$
 $\Delta S_s;$

Sublimination thermodynamics
and kinetics of cuprous chloride.
I. Vacuum balance torsion expe-
riments II. Mass spectrometer
experiments. (cuZn; T)

C.A. 1974. 80. N18.

Gd: 1974-11-18

30831.4888
Х

СиСл+(Ке) Р2101

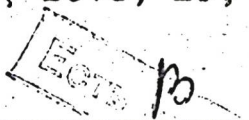
1973

XVI 1480

Экстракция трибутилфосфатом из солянокислых растворов. VI. Экстрагируемые комплексы меди.

Абдукаюмов М., Левин В.И., Козлова М.Д.

"Радиохимия", 1973, 15, № 4, 530-533



0951 Биб

935 935 944

ВИНИТИ

Cucl

1973

Bardin Y., et al

mass I, cmp. 258

298-303 (sol)

303-1485 (liq)

● (CuCl AgF)I

CuCl

Ferrante M.J.; 1973

CuCl₂

King E.G.

H_T - H₂₉₈

5 TT n 16,

298 - 1400 K.

p 70

ΔH_E 685 K

ΔH_m 696 K

ΔH_f 675.

Lull(2)

1973

King E.G., Alah S.D., Pankratz
L.B.,

measuring.
Cu-Ba Thermodynamic properties of
copper and its inorganic
compounds, 1973,
257 pp.

(на руске языке)

Cullik, n.) 1973

King E.G., Mall A.A., Pankratz
L.B.,

Мерког.
cb-bas Thermodynamic properties
of copper and its inorganic
compounds, 1973,
257 pp.
(На русском языке)

40228.6045

Ch, TE

$\text{CuCl}^+(\text{Kp})$

40534

1973

XVI/1821

Libus Zofia.

Nature and stability of the CuCl^+ complex in aqueous solution.

"Inorg. Chem.", 1973, 12, N12,

2972-2977

(англ.)

0054 ЗБР



041 041

046

ВИНИТИ

1973

Cu Cl

elleisalo v.

Kalliomaki M.

"High Temp- High pressure"

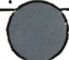
1973, 5, 16, 663-673 (a.u.)

образ

бескислород

газовый

(Cu Cu I; T)



x.1975. N2

1973

CuCl

(ΔHs)

74967u] Sublimation thermodynamics and kinetics of cuprous chloride. Vacuum balance-torsion experiments. Mass spectrometer experiments. Peterson, Dean Everett (Univ. Kansas, Lawrence, Kans.). 1973, 484 pp. (Eng). Avail. Univ. Microfilms, Ann Arbor, Mich., Order No. 73-30,857. From Diss. Abstr. Int. B 1973, 34(6), 2549.

C.A. 1974. 80. N14

1974

CuCl^+

XII - 1811

14 Б829. О термодинамикеmonoхлоридных комплексов меди(II) в водно-спиртовых растворах. Блохин В. В., Размыслова Л. И., Шалаевская М. И., Макашев Ю. А., Миронов В. Е. «Ж. физ. химии», 1974, 48, № 12, 469—471

Спектрофотометрически определены константы устойчивости monoхлоридных комплексов $\text{Cu}(2)$ в водно-этанольных и водно-метанольных смесях. С помощью дифференциального микрокалориметра измерены энталпии образования этих комплексов в указанных средах. Все измерения проводились при 25° в р-рах с постоянной ионной силой (3M р-р NaClO_4). В водно-метанольных смесях, содержащих 0, 5, 20, 40, 60 и 75 об.% спирта, значения суммарной константы устойчивости (K)

K_e ; ΔH_f

x. 1974. N14.

внутри- и внешнесферных хлоридных комплексов меди, составили $0,87 \pm 0,08$; $0,97 \pm 0,10$; $1,14 \pm 0,12$; $3,88 \pm 0,13$; $10,8 \pm 0,5$ и $26,8 \pm 0,8$; энталпии образования комплексов соотв. равны $2,22 \pm 0,05$; $2,90 \pm 0,07$; $3,20 \pm 0,13$; $2,80 \pm 0,08$; $3,55 \pm 0,15$ и $2,65 \pm 0,16$ ккал/г-ион, а энтропии образования равны $7 \pm 0,5$; $10 \pm 0,5$; $11 \pm 0,5$; $12 \pm 0,5$; $17 \pm 0,5$ и $15,5 \pm 0,5$ э. е. Для водно-этанольных смесей содержащих 0, 5, 20, 40, 60 и 70 об.% спирта, величины K равны $0,87 \pm 0,08$; $1,03 \pm 0,06$; $1,43 \pm 0,08$; $4,20 \pm 0,20$; $10,3 \pm 0,6$; 62 ± 5 ; $\Delta H = 2,22 \pm 0,05$; $2,87 \pm 0,10$; $3,30 \pm 0,09$; $2,65 \pm 0,07$; $3,25 \pm 0,15$; $2,25 \pm 0,13$ ккал/г-ион; $\Delta S = 7 \pm 0,5$; $10 \pm 0,5$; $12 \pm 0,5$; $12 \pm 0,5$; $15,5 \pm 0,5$; $16,5 \pm 0,5$ э. е. Обсуждена зависимость величин K , ΔH и ΔS от состава растворителя.

П. М. Чукуров

CuCl₂ · H₂O

XVI-2256

1944

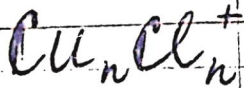
CuCl₂ · H₂O

Natarajan G.G.;
(K.P., S.H., & F.A.S) Venkatachalam
K.A.

Indian J. Technol.,
1974, 12, N 5, 192

* 13-8273

1974



$n = 1-4$

Mass spectrometric uccell.

(A.P.)

92193j Mass spectrometric study of the fragmentation of the cuprous chloride vapor system. Wagner, L. C.; Robert, P.; Grindstaff, Q.; Grimley, R. T. (Dep. Chem., Purdue Univ., West Lafayette, Indiana). *Int. J. Mass. Spectrom. Ion Phys.* 1974, 15(3), 255-70 (Eng). A recently developed angular distribution technique as well as the std. high temp. methods were used to study the ion source fragmentation processes of the CuCl vapor system. The trimer, tetramer, and pentamer were the neutral precursors of 13 ionic species identified in the mass spectrum. In addn., a metastable reaction corresponding to $\text{Cu}_4\text{Cl}_4^+ \rightarrow \text{Cu}_3\text{Cl}_3^+ + \text{CuCl}$ was detected.

C.A. 1975. 82. N14

$\Delta_f H_{298}$

XVI - 2018

1974

CuCl (K).

CuBr (K)

Басарбов Б.Н., Кумир Б.Т.
М. кандидат. химии 1974, 19,
N5, 1217-21

"Структурное значение образования
ионов CuBr (K) и CuCl (K).

каспус.

$\Delta_f H_{298}$ CuCl(K) = -32,56 ± 0,11

кандидат

Cu Cl^+ Ashurst R.G. 1975
Natl. Inst. Metall.
Repub. S. Afr. Rep.
1975, 1712, 28pp (Eng)
(Cu Ni Cl^+ ; -)

CuCl

1975

Sime S.

Sime W. J.

Johnson K. E.

ΔH

H₀-H
paenwab

J. Chem. Soc. Faraday
Trans 1 1975, 2366-76
(eng)

(all AgCl; I)

CuCl

1975

211482k Phase diagram of copper(I) chloride. Serebryanaya,
N. R.; Popova, S. V.; Rusakov, A. P. (USSR). *Fiz. Tverd. Tela*

(Leningrad) 1975, 17(9), 2772-4 (Russ). Phase transformations
under pressure in CuCl were investigated by x-ray diffraction
and by measuring elec. resistance at 1-130 kbars at 300°K. CuCl
with sphalerite structure (CuCl II) prior to the transition into
the phase with NaCl-type structure (CuCl V) has 2 intermediate
phases (IIa and IV) one of which (IIa) is metallic and isomorphous
with the initial dielec. phase.

A. Libackyj

(Ttx)

C.A. 1975. 83

N 26

CuCl^+

1976

CuCl_2

(K_f)

85:149770p Determination of the equilibrium constants and uv-absorption spectra for copper(II)-chloride ($\text{Cu}^{2+}-\text{Cl}^-$) complexes in 1 M perchloric acid. Carlsson, B.; Wettermark, G. (Dep. Phys. Chem., R. Inst. Technol., Stockholm, Swed.). *J. Inorg. Nucl. Chem.* 1976, 38(8), 1525-7 (Eng). Complex formation consts. were detd. spectrophotometrically for CuCl^+ and CuCl_2 at 25° in 1M HClO_4 . A regression anal. was used for the simultaneous detn. of formation consts. and absorption spectra, which gave K_1 2.3 and K_2 0.72. The strong overlap between the 2 absorption spectra made it necessary to arrange the numerical anal. in such a way that the spectral differences were fully exploited.

(+) \boxtimes

C.A. 1976. 85 N20

604I7.3I50

00757

Х

Си Сl⁺ аq / Kc)(VI-3114
1976)

Влияние величины и природы ионной силы раствора на устойчивость $\text{Si Cl}^+ \cdot \text{aq}$

Конева Т.Н., Федоров В.А.

"Х. неорган. химии", 1976, 21, № 4, II32
-II35

0594 лжк В

579 581 5 5 6

реф ВИНИТИ

Сисл

Он. 19151

1976

13 Б790. Тензиметрическое исследование полимеризации парообразной хлористой и бромистой меди. Поляченок Л. Д., Назаров К., Поляченок О. Г. (Редколлегия «Ж. физ. химии» АН СССР). М., 1976. 8 с., библиогр. 14 назв. (Рукопись деп. в ВИНИТИ 20 окт. 1976 г., № 3730—76Деп.)

Обсуждается расхождение данных масс-спектрометрич. и тензиметрич. методов определения состава пара хлористой меди (I). Статич. методом с кварцевым мембранным нуль-манометром проведено дополнительное тензиметрич. исследование плотности и насыщ. пара I, а также на исследованной ранее этим методом бро-

Состав
нафта

Х. 1977. № 3

мистой меди (II). Для предотвращения взаимодействия с кварцем в мембранийную камеру заранее вводили определенное кол-во тетрагалогенида кремния. Измерения плотности ненасыщ. пара, проведенные при т-ре 900—1000° и давл. 50—60 мм, показали, что в этих условиях пар I содержит примерно одинаковое кол-во три- и тетрамерных молекул, а пар II ~20% тетрамерных молекул. Сделан вывод о необходимости повторного исследования структуры молекул газ. I с учетом сложного состава пара.

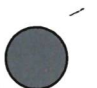
Автореферат

CeCl

(Δ MHz)
 Δ Min')

XIV - 33877

*4 - 17069
1976
Rosicky J., et al.
Collect. Czech. Chem.
Commun., 1976, 41 NII,
3350-3.



(CeI AgF, I)

CuCl

XCS-13874

1976

85: 52583s Specific heat of copper(I) chloride. Vardeny, Z.; Moses, D.; Gilat, G.; Shechter, H. (Dep. Phys., Technion-Israel Inst. Technol., Haifa, Israel). *Solid State Commun.* 1976, 18(9-10), 1369-71 (Eng.). The molar specific heat of CuCl was measured at 5-155°K. Comparison is made to the calcd. specific heat derived from a lattice dynamical model based on the shell model. Comparison is made also between the exptl. and calcd. Debye temps. There is an agreement below 95°K and anharmonic effects become noticeable above 95°K.

(C_p $\Delta \rho$)

24/8/76

C.S. 1976, 85. N8

CuCl

ХИ-13874

1976

21 Б535. Теплоемкость CuCl. Vardeny Z., Moses D., Gilat G., Shechter H. Specific heat of CuCl. «Solid State Commun», 1976, 18, № 9—10, 1369—1371 (англ.)

Измерена мол. теплоемкость монокристалла CuCl при т-рах от 5 до 155° К, к-рая вместе с характеристич. дебаевской т-рой $\Theta(T)$ сопоставлена с рассчитанными на основе развитой девятипараметрич. оболочечной динамич. модели. Отмечено хорошее согласие эксперим. и расчетных данных ниже 95° К, а расхождение при более высоких т-рах связано с неучетом в теории влияния ангармонизма. Довольно быстрый рост $\Theta(T)$ в интервале 10—100° К приписывается наличию щели в функции плотности фононных состояний, к-рая связана с резким различием частот продольных и поперечных акустич. фононных мод.

А. Ю. Румянцев

X1976N21

Омск 14/99

1977

СиС

10 E508. Термическое расширение и теплоемкость хлористой меди при низких температурах. Ваггоп Т. Н. К., Birch J. A., White G. K. Thermal expansion and heat capacity of cuprous chloride at low temperatures. «J. Phys. C: Solid State Phys.», 1977, 10, № 10, 1617—1625 (англ.)

Приведены результаты исследований коэф. линейного расширения (α) поликристаллич. образца CuCl в интервале т-р 1,5—300°К, а также его теплоемкости между 1,3 и 16°К. Получено, что α отрицателен при низких т-рах, причем при 32°К его миним. значения достигают $8,3 \cdot 10^{-6}$ град $^{-1}$. Лишь при 100°К α переходит через нуль, достигая к 283°К значения $13,8 \cdot 10^{-6}$ град $^{-1}$. Приведены результаты расчетов параметров Грюнайзена и т-ры Дебая. Приведены значения этих параметров, а также упругих модулей для кристаллов со структурой цинковой обманки, обсуждается их связь с ионностью. Библ. 37.

В. Е. Зиновьев

Ф. 1977 № 10

22.07.3

CccCl

Om 14199

1977

22 Б592. Термическое расширение и теплоемкость
хлорида меди при низких температурах. Ваг-
гоп Т. Н. К., Вітч J. A., White G. K. Thermal
expansion and heat capacity of cuprous chloride at low
temperatures. «J. Phys. C: Solid State Phys.», 1977, 10,
1617—1625 (англ.)

(C_p)

Измерены линейное термич. расширение поликрист.
образца CuCl при т-рах 0—20° С, 55—90° К, 1,5—
34° К и его теплоемкость при т-рах 1—3—16° К. Уста-
новлено, что в области низких т-р коэф. термич. рас-
ширения принимает большие отриц. значения. Рассчи-
таны величины параметров Грюнайзена. Проведено
сравнение полученных данных с данными по др. крис-
таллам со структурой цинковой обманки. И. Д. Белова

Х. 1977 № 22

24.8.77

CuCl_n²⁻ⁿ

1974

1) 14 В62. Вклад в наши знания об образовании слабых хлоридных комплексов двухвалентной меди в водных хлоридных растворах. Bjergum J., Skibsted L. H. A contribution to our knowledge of weak chloro complex formation by copper(II) in aqueous chloride solutions. «Acta chem. scand.», 1977, A31, № 8. 673—677 (англ.)

(K_c)

Пересмотрены данные работы [Schwing — Weill M.-J. («Bull. Soc. Chim. Fr.», 1973, 823) и Khan M. A., Schwing — Weill M.-J. («Inorg. Chem.», 1976, 15, 2202)] по спектрофотометрич. определению констант устойчивости комплексов CuCl_n²⁻ⁿ в среде 5 М Na (ClO₄, Cl) при 25°. Указано на значительное расхождение полученных констант с лит. значениями. Определен коэф. экстинкции CuCl₄²⁻ при 436 нм ($\epsilon_{436}=308$) из данных в насыщ. р-ре CaCl₂. Предположено, что все наблюдаемое поглощение при 436 нм обусловлено CuCl₄²⁻ и по эксперим. данным цитированных выше работ, используя величину ϵ_{436} , вычислены значения ступенчатых констант устойчивости $K_1=1,5$, $K_2=0,42$, $K_3=0,14$ и $K_4=0,036$.

А. К. Яцимирский

20, 1978, № 14

Lell 10M. 21322, 1977

Garbato L., Zedda F.,

ΔH_m ; Thermochem. Acta, 1977,
19, 267-273.

1974

Отмеч 14180

(CuCl)

(CuBr)₂(CuJ)₂Cu_n Cl_n(k)

P, SHf,

SF

(42) 4

Х, 1973, N14

14 Б919. Термодинамика испарения галогенидов меди (1+). Krabbes G., Oppermann H. Die thermodynamik der verdampfung der kupfer(I)-halogenide. «Z. anorg. und allg. Chem.», 1977, 435, № 8, 33—34. (нем.; рез. англ.)

Статическим методом в интервале т-р 973—1323 К измерены давл. насыщ. пара над жидк. галогенидами CuX. Результаты описаны ур-ниями вида $\lg p$ атм = $A - \frac{B}{T}$, коэф. к-рых A , B и погрешность составили: CuCl 2,27, 3897 и $\pm 0,04$, CuBr 2,53, 4334 и $\pm 0,06$, CuJ 3,20, 5344 и $\pm 0,07$. С использованием лит. данных по газофазным равновесиям $n\text{CuX} \rightleftharpoons (\text{CuX})_n$ показано, что пары состоят в основном из тримерных молекул $(\text{CuX})_3$. Давл. насыщ. пара отдельных видов $(\text{CuX})_n$ описаны ур-ниями вида $\lg p$ (атм) = $A - \frac{B}{T}$, коэф. к-рых A , B и погрешность составили соотв.: CuCl 5,192, 9314 и $\pm 0,004$, $(\text{CuCl})_2$ 4,302, 9421, и $\pm 0,007$, $(\text{CuCl})_3$ 2,191, 4013 и $\pm 0,011$, $(\text{CuCl})_4$ 1,301, 3385 и $\pm 0,015$, $(\text{CuBr})_3$ 2,464, 4282 и $\pm 0,001$, $(\text{CuBr})_4$ 1,705, 5,258 и $\pm 0,002$, $(\text{CuJ})_3$ 3,24, 5490 и $\pm 0,1$. Вычислены

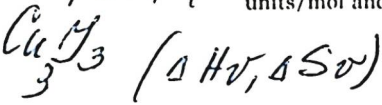
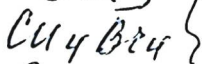
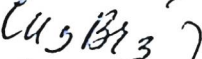
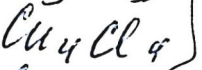
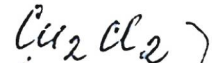
Энталпии и энтропии испарения и с использованием
лит. данных определены станд. энталпии образования
и станд. энтропии газ. (CuX_n). Значения $-\Delta H$ (обр.,
298 К) ккал/моль и S°_{298} э. с. составили соотв.: CuCl
—16,8 и 54,9, $(\text{CuCl})_2$ 10,1 и 79,2, $(\text{CuCl})_3$ 63,1 и 97,5,
 $(\text{CuCl})_4$ 94,0 и 121,2, $(\text{CuBr})_3$ 33,8 и 115, $(\text{CuBr})_4$ 48,1
и 144, $(\text{CuJ})_3$ —20,0 и 130. Данные для $(\text{CuJ})_3$ полу-
чены с использованием спец. экспериментов по хим.
транспорту Cu в зоне 800° с помощью газ. CuJ и с
учетом термодинамич. характеристик разложения йоди-
дов меди.

А. Б. Кисилевский

станд

Oct. 14/80

1977



C.A. 1978, 88, N14

88: 95705n Thermodynamics of the vaporization of copper(I) halides. Krabbes, G.; Oppermann, H. (Zentralinst. Festkoerperphys. Werkstoffforsch., DAW, Dresden, E. Ger.). Z. Anorg. Allg. Chem. 1977, 435, 33-44 (Ger). The equil. of the vaporization of Cu(I) halides were measured by means of a static method. The predominant species in the vapor are the trimeric ones. The enthalpies and entropies of vaporization (kcal/mol and entropy units/mol) at 1100 K were detd. to be 42.7 and 23.8 for CuCl, 43.1 and 10.7 for Cu₂Cl₂, 18.4 and 10.0 for Cu₃Cl₃, 15.5 and 5.9 for Cu₄Cl₄, 10.6 and 11.3 for Cu₅Br₃, 24.0 and 7.8 for Cu₄Br₄, 25.1 and 14.8 for Cu₃I₃, resp. Taking into account the results of chem. transport expts. concerning the transport of Cu by means of I the std. entropy at 298 K of Cu₃I₃(gas) is 130 entropy units/mol and the fusion enthalpy at 298 K is 20 kcal/mol.

+3

Cu₃I₃(gas) S°_{298, dHv}

Cecil(x) [Omnuck 14180] 1977

Dhv,

Dhv

Krabbes f., Oppermann
H.,

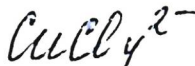
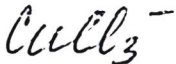
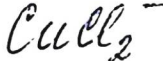
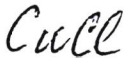
Z. anorg. allg. Chem.,

1977,



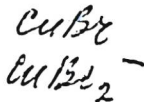
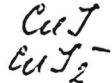
435, 33-44.

1977



Kerst.

87: 207455u Electrochemistry in molten dimethyl sulfone systems for the oxidation-reduction of copper and its ions in the presence of halogen ions. Machtlinger, M.; Vuaille, M. J.; Tremillon, B. (Lab. Electrochim. Anal. Appl., CNRS, Paris, Fr.). *J. Electroanal. Chem. Interfacial Electrochem.* 1977, 83(2), 273-86 (Fr). The different complexes formed in Me_2SO_2 soln. at 127° between Cu(I) or Cu(II), and Cl^- , Br^- , and I^- were identified and their stability consts. detd. by potentiometric and voltamperometric methods: CuCl(s) , $-\log K_s = 12.7$; CuBr(s) , $-\log K_s = 12.4$; CuI(s) , $-\log K_s = 13.3$; CuCl_2^- , $\log \beta_2 = 16.8$; CuBr_2^- , $\log \beta_2 = 15.1$; CuI_2^- , $\log \beta_2 = 14.1$; CuCl_2 , $\log \beta_2 = 17.0$; CuCl_3^- , $\log \beta_3 = 24.7$; CuCl_4^{2-} , $\log \beta_4 = 26.1$; CuBr_2 , $\log \beta_2 \approx 15$ (concn. in mol kg^{-1}). The catalytic action of the Cu(I)/Cu(II) system was demonstrated in the case of oxidn. reactions by O of 2 org. compds.: hydroquinone and *N,N,N',N'*-tetraphenyl-*p*-phenylenediamine.



C.A. 1984, 82, 1126



Л. С. С.

1977

Мазаров Кубан

Диссертация на соискание

канд. сп. К.Х.Н., 1977, Минск,
Белорусский технологический
университет
К-Н вил. С.М. Кирова

Полимеризацию. Некоторых паро-
образных заполняющих.

Cull

1044

Чагаров Суబаси
Автографъръкъ р. х. н.

P

CuCl

1977

Tee

86: 127510x Isomorphic phase transitions in copper(I) chloride at high pressures. Rusakov, A. P.; Grigoryan, S. G.; Omel'chenko, A. V.; Kadyshevich, A. E. (Mosk. Inst. Stali Splavov, Moscow, USSR). *Zh. Eksp. Teor. Fiz.*, 1977, 72(2), 726-34 (Russ). The phase T - P diagram of CuCl was studied at 4.2-800 K and ≤ 36 kbars. Isomorphic phase transformations with small heat ($\Delta Q \leq 0.1$ kcal/mol) and vol. effects, ($\Delta V/V_0 \leq 1.5\%$) are obsd. in the dielec. phase. The T - P diagram for CuCl is explained within the framework of the existing theor. concepts.

C.A.1977.86 w10

CuCl +

1974

Rosenstock H. M. et al

J. Phys. Chem. Ref. Data,

1974, 6, Suppl. n^o 1, p 1-539

T. g.
IB.Ba

1977

СуCl

10 Е919. К фазовой диаграмме CuCl. Русаков А. П., Омельченко А. В., Лаухин В. Н., Григорян С. Г. «Физ. твердого тела», 1977, 19, № 4, 1167—1169

Изучена $T-P$ -диаграмма CuCl в интервале T - P 4,2—800° К до давлений $P=35$ кбар. Исследования при $T=290$ —800° К проводились методом ДТА и дилатометрии до $P=24$ кбар в гидростатич. камере. Исследования при $T=4,2$ —300° К проводились до $P=35$ кбар в камере типа поршень — цилиндр. Отмечен фазовый переход при $P=6$ кбар с уменьшением сжимаемости почти в два раза и с малым объемным эффектом $\Delta V/V_0 < 1\%$. Второе превращение происходит при $P=18$ —20 кбар с увеличением сжимаемости вдвое. Предполагается, что эти переходы являются изоморфными.

Е. С. Алексеев

$P-T$
диагр.

Ф. 1977 № 10

$\text{CuCl}_2 \cdot 2\text{H}_2\text{O}$

1977

Shimizu Shoji et al,

(P)

J. Chim. Soc. Far.,
Chem. and Ind. Chem. "1977,
N^o, 953-958

(carbon; red and.)

(ext. $\text{CuCl}_2 \cdot \text{H}_2\text{O}$; I)

CuCl

О.П.П. 15739

1977

XVI- 3914- ВР

24 Б1011. Электронные фазовые переходы в CuCl.
Валянский С. И., Евдокимова В. В., Григорян С. Г., Кадышевич А. Е., Русаков А. П. В сб. «Фазовые переходы Металл — Диэлектрик. Кратк. содерж. докл., представл. на II Всес. конф. по фазовым переходам Металл — Диэлектрик, Львов, 1977». Москва — Львов, 1977, 241—242

С помощью прямого наблюдения экситонных «капель» исследован фазовый переход полупроводник — экситонный диэлектрик в CuCl (I) при т-ре $\sim 300^\circ\text{K}$. Просвечивание образцов I лучом He—Ne-лазера ($\lambda=1,15 \text{ мкм}$) показало, что в нем наблюдаются (с помощью электронно-оптич. преобразователя) точки более яркие, чем окружающая среда. При нагревании образцов I от $T=293^\circ\text{K}$ яркость точек падала и при $T=340^\circ\text{K}$ они исчезали. Результаты экспериментов согласуются с теор. и эксперим. представлениями о коллективных св-вах экситонов.

Л. Г. Титов

Х. 1977 №24

Cell

11 Б874. Исследование хлористой меди под давлением. Chu C. W., Early S., Geballe T. H., Hung C. Y. Study of cuprous chloride under pressure. «J. Less—Common Metals», 1978, 62, 463—467 (англ.)

1978

В диапазоне гидростатич. давл. до 32 кбар (и-пентаноизомиловый спирт 1 : 1) при т-рах от 1 до 300 К измерена магнитная восприимчивость (χ), электросопротивление (σ), а также проведен ДТА хлористой меди CuCl . Обнаружено, что при нагревании со скоростью 5 град/мин наблюдается аномалия в т-рной зависимости χ , лежащая в области 90—250 К и обладающая шириной 10—20 К. Местоположение аномалии зависит не от давл., а от числа циклов нагрев — охлаждение и приготовления образца. σ при этом возрастает в 40 раз. На ДТА кривых отмечено 2 пика разного знака. Один из пиков соответствует середине начала аномалий χ и σ , другой — окончанию. При равновесном охлаждении ни одной аномалии не обнаружено. Обсуждена возможная природа фазовых превращений, связанных с наблюдаемыми аномалиями. Предположено наличие нового кооперативного состояния. Сделан вывод, что проблема присутствия или отсутствия сверхпроводящего перехода в CuCl требует для своего решения дальнейших экспериментов.

Fe

2.1949, N 11

Cucl

Vardeny Z., Gilat G.

1988

Proc. Int. Conf. lattice Dyn.,
1977 (Pub. 1988), 55-7.

B2

(Cu, CuBr $\bar{1}$)

CuCl

CuBr

CuI

(C)
5 - 160 °K

⑦ 18

Om. 24874

1978

90: 95813n Specific heats and lattice dynamics of cuprous halides. Vardeny, Z.; Gilat, G.; Moses, D. (Dep. Phys., Technion-Israel Inst. Technol., Haifa, Israel). *Phys. Rev. B: Condens. Matter* 1978, 18(8), 4487-96 (Eng). The sp. heats $C_p(T)$ of CuCl, CuBr, and CuI were measured by the adiabatic calorimetric technique. The corresponding Debye temp. for each crystal is given, and the results are compared. The room-temp. phonon dispersion relations for these crystals are fitted by a 9-parameter shell model which gives good fits to CuBr and CuI and a fair fit to CuCl. These model calcns. are used to compute $C_v(T)$ for the 3 cuprous halides and the calcd. results are compared with expt. The agreement is good for the range of $T > 30$ K and less so for $T < 30$ K where discrepancies are to be expected due to anharmonicity that affects the theor. results. For CuCl the Grüneisen parameter $\gamma(T)$ was obtained using thermal expansion data.

C. A. 1979. 90 n12

1979

CuCl(CO)

v) 14 B22. Твердый карбонильный комплекс одновалентной меди. Состав и равновесие. Backép Wilbert, Vestin Ragnag. Solid copper(I)carbonyl complex. Composition and equilibria. «Acta chem. scand.», 1979, A33, № 2, 85—91 (англ.)

Состав
и равновесие

ΔH, ΔG, ΔS

Манометрическим методом изучена р-ция карбонилирования CuCl газ. CO в водн. системах, содержащих HCl (к-та) и KCl при т-ре 25°, в результате к-рой образуется тв. карбонильный комплекс CuCl(CO) (I), а не CuCl(CO) · 2H₂O, как полагали ранее. Р-ция обратима. На основании данных т-рной зависимости равновесного, давл. окиси углерода рассчитаны след. термодинамич. константы р-ции образования I: $\Delta G^\circ = 1,374 \pm 0,006$ кдж; $\Delta H^\circ = -45,58 \pm 0,11$ кдж; $\Delta S = -148,3 \pm 0,4$ дж/град.

В. Хандожко

Х. 1979. 9. 14

Ciccl

13 Б874. Диамагнитный переход в разупорядоченном CuCl. Lefkowitz I., Manning J. S., Bloomfield P. E. Diamagnetic transition in disordered CuCl. «Phys. Rev.», 1979, B20, № 11, 4506—4510 (англ.)

1979

(*T_{tr}*)

В диапазоне т-р 77—280 К, при давл. до 10 кбар, создаваемых на аппаратуре типа наковален, на частоте 17 Гц измерены диамагнитные св-ва CuCl. Образцы были получены закалкой в жидк. N₂ из расплава, содержащегося в атмосфере Ag или He, и представляли собой прозрачный, стеклообразный, полностью разупорядоченный, диамагнитный продукт. Обнаружено аномальное возрастание диамагнитных св-в между 120 и 230 К. Полученные результаты сопоставлены с данными др. авторов и обсуждены с точки зрения наличия в CuCl нового типа перехода в сверхпроводящее состояние.

Г. Л. Апарников

2 1980 № 3

5 Б770. Термодинамика парообразования и диссоциации полимерных молекул хлористой и бромистой меди. Поляченок О. Г., Поляченок Л. Д., Назаров К. «8-я Всес. конф. по калориметрии и хим. термодинам., Иваново, 1979. Тез. докл. II—ПКТБМ». Иваново, 1979, 336

В результате совместной обработки тензиметрич. и масс-спектрометрич. данных получены термодинамич. характеристики процесса: $3(\text{Cu}_4\text{Cl}_4) \rightleftharpoons 4(\text{Cu}_3\text{Cl}_3)$, $\Delta H^\circ_{1200} = 29,5 \pm 3,5$ ккал, $\Delta S^\circ_{1200} = 16,1 \pm 4,7$ кал/град. Для процесса с бромистой медью $\Delta H^\circ_{1200} = 16,8 \pm 8$ ккал. Рассчитаны энталпия и энтропия испарения, станд. энталпия образования и энтропия, станд. энталпия диссоциации полимерных молекул на мономерные ΔH°_{1090} ккал/моль, ΔS°_{1090} кал/моль·град, ΔH°_{298} , ΔS°_{298} , ΔH°_{298} : Cu_3Cl_3 ($21,7 \pm 0,9$; $12,0 \pm 1,1$; $-62,9 \pm 2,8$; $94,3 \pm 5,0$; 121 ± 9), Cu_4Cl_4 ($19,0 \pm 1,0$; $10,5 \pm 1,1$; $-94,6 \pm 3,6$; $119,0 \pm 6,4$; 172 ± 12), Cu_3Br_3 ($21,0 \pm 1,2$; $12,0 \pm 0,8$; $-37,3 \pm 2,3$; $103,7 \pm 2,2$; 123 ± 20), Cu_4Br_4 ($22,2 \pm 2,6$; $10,5 \pm 1,7$; $-56,3 \pm 4,1$; $131,5 \pm 3,6$; 171 ± 28). Последние величины свидетельствуют об исключительно высокой прочности этих полимерных молекул, что мо-

(+)

☒

2.1980.15

жет рассматриваться как аргумент в пользу их кластерного строения.

Резюме



СССР

1979

Полищук О.Г. с др.

3 Всесоюзная конференция по
калориметрии и химической
термодинамике. 25-27 сентября
1979г. Иваново, Тезисы докла-
дов. Стр. 336.

стар.

CuCl

1979

(Tc)

91: 149995q Possibility for high-temperature superconductivity. Rajagopal, A. K. (Thomas J. Watson Res. Cent., IBM, Yorktown Heights, NY 10598 USA). *Phys. Rev. B: Condens. Matter* 1979, 20(3), 1020-1 (Eng). A new mechanism of supercond. in semiconductors and semimetals based on the metallic phase of the exciton was proposed by A. A. Abrikosov (1978). He estd. the crit. temp. for CuCl to be of order 100 K by employing the weak coupling BCS formula. It is shown here that the strong-coupling limit is more appropriate and that T_c is then estd. to be of the order 1 K.

C.A. 1979, 9, 118

Оттиск 15738

1949

Суль

18 Б1472. Потенциометрическое определение произведения растворимостиmonoхлорида меди. Сосницкий В. Н., Фофанов Г. М. «Ж. неорган. химии», 1979, № 6, 1708—1710

Потенциометрическим методом при т-ре 25° для ионной силы, равной 0, определено произведение р-римости CuCl $\text{PR} = (2,5 \pm 0,77) \cdot 10^{-7}$. Показано, что в р-рах, содержащих ионы Cu^{2+} и Cl^- в кол-ве, меньше 0,1 M, р-рение CuCl осложняется р-цией диспропорционирования, Cu^+ на Cu^{2+} и Cu^0 .

Л. В. Арсеенков

IP, Kc

Х. 1949, N 18

Сисл

1979

9 Б704. Изучение диаграмм плавкости тройных систем $\text{NaCl}-\text{K}(\text{Rb}, \text{Cs})\text{Cl}-\text{CuCl}$. IV. Определение теплот фазовых превращений соединений $\text{CsCl}\cdot 2\text{CuCl}$, $3\text{CsCl}\cdot 2\text{CuCl}$, $2\text{RbCl}\cdot \text{CuCl}$ и $2\text{RbCl}\cdot 3\text{CuCl}$. Василько-ва И. В., Упатова Т. П., Шапкин П. С. «Вестн. ЛГУ», 1979, № 22, 111—112.

На дериватографе системы МОМ (Будапешт) по площадям пиков кривых ДТА с точностью $\pm 10\%$ определены теплоты фазовых переходов $\text{CsCl}\cdot 2\text{CuCl}$ (I), $3\text{CsCl}\cdot 2\text{CuCl}$ (II), $2\text{RbCl}\cdot \text{CuCl}$ (III) и $2\text{RbCl}\cdot 3\text{CuCl}$ (IV). Т-ры и теплоты конгруэнтного плавления составили: I 267° и $4,9 \pm 0,5$ ккал/моль, II 300° и $6,2 \pm 0,6$. Теплоты перитектич. превращений III и IV определены по кривым нагревания, т. к. даже при медленном охлаждении расплава ($0,5$ К/мин) эти соединения не образуются в чистом виде. Их т-ры и теплоты фазового превращения составили: III 230 и $3,6 \pm 0,4$, IV 190 и $4,3$ ккал/моль. В кач-ве эталона измерений использован CuCl , имеющий по днт. данным суммарную величину фазовых превращений $\Delta H_{\text{кр.}} + \Delta H_{\alpha \rightarrow \beta} = 2,62$ ккал/моль.

А. Б. Киселевский

д Нтг

(т) А

Х. 1979 № 9

→

Приложение:

Сумма $\Delta H_{tr} + \Delta H_m = 3,24_6$ ккал/к., Т. д. кг
24 Более точных Маннинга, от которых
исключена приятие в старт
эталоном!

(в ТКВ $\sum \Delta H_{tr} + \Delta H_m = 3,40$)

расч
соп

Lommeck 14220

1980

Cu(I)X

X=Cl, Br, I

Ahrland S., Bläuer-
stein P., et al.,

K_f, Δf°,
ΔH_f°, ΔS_f°

Acta chem. scand.;
1980, A34, 265-272.

Gill (aq)

OMNIUS 14728

1980

Fritz J. J.,

J. Phys. Chem., 1980,
84, 2241-2246.

CuCl⁺, CuCl₂ (Kc) 1980

LiBuś W., Pilarczyk M.,
Szuchnicka T. 6131-XVI

Electrochim. acta, 1980, 25, N8, 1033-1039 (0471)

Ionization equilibria of copper (II) chloride
in dimethyl sulphoxide.

(H)

PH Nuov. 1980

23 B 23

● B, M (P)

Cell

*фазовые
переходы*

6 Б944. Фазовые переходы, вызванные давлением, и край поглощения в CuCl. Müller H., Ves S., Hochheimer H. D., Cardona M., Jayagaman A. Pressure-induced phase transitions and shifts in the absorption edge of CuCl. «Phys. Rev. B: Condens. Matter», 1980, 22, № 2, 1052—1057 (англ.)

В диапазоне давл. до 15 ГПа в оптич. ячейке на алмазных наковальнях с. уплотнением исследован край оптич. поглощения и фазовые переходы в CuCl. Давл. прикладывалось непосредственно к CuCl без использования среды, передающей давление. Обнаружено, что зависимость сдвига края поглощения от давл. испытывает два резких скачка при 4,8 и 9,0 ГПа. Эти скачки в соответствии с данными Эдвардса и Дрикамера отвечают фазовым переходам от структуры цинковой обманки в тетрагон. модификацию и затем в фазу со структурой NaCl. Сдвиг края поглощения с давл. осуществляется в этих трех фазах с наклоном $1,78 \times 10^{-2}$, $2,1 \times 10^{-2}$ и $4,3 \times 10^{-2}$ эВ/ГПа, что соотв. дает величины деформаций Пт щели -1 ; $-1,65$ и -5 эВ. Сделан вывод, что самая нижняя энергетич. щель в фазе со структурой NaCl составляет $\sim 3,0$ эВ. Эта величина меньше, чем в фазе со структурой цинковой обманки. Полученные результаты сопоставлены с данными по AgCl.

Г. Л. Апарников

Х. 1981.16

1980

CuCl

разовый
переход

11 Б395. Изучение оптических, рентгеновских характеристик и электросопротивления CuCl при высоком давлении. Piermarini G. J., Мауг F. A. Block S., Jayaraman A., Geballe T. H., Hull G. W. Optical microscopic, x-ray diffraction, and electrical resistance studies of CuCl at high pressure: «High Pressure Sci. and Technol. Proc. 7th Int. AIRAPT Conf., Le Creusot, 1979. Vol. 1». Oxford e. a., 1980, 395—399 (англ.)

Исследована зависимость электрич. сопротивления и оптич. св-в CuCl от различных давл. в гидростатич. и негидростатич. условиях проведения опытов. Фазовый переход диэлектрик — металл не обнаружен вплоть до 12,0 ГПа. При 4,4 ГПа осуществляется переход из типа сфалерита в тетрагон. фазу, а при 8,0 ГПа из тетрагон. — в тип NaCl. Черн. непрозрачная фаза имеет структуру NaCl, ее непрозрачность обусловлена несоразмерностью между CuCl и чистой Cu. Параметры крист. решетки уменьшаются от $a = 5,416$ при 1 атм. до 4,90 при 12,3 атмосферах. И. С. Наумова

д. 1981. № 11

Синтез

1980

4 В2. Синтез CuCl. Remeika J. P., Batlogg B.
Synthesis of CuCl. «Mater. Res. Bull.», 1980, 15, № 8,
1179—1182 (англ.)

Образцы чистого CuCl стехиометрич. состава полу-
чают по р-ции $4 \text{Cu} + \text{CCl}_4 \rightarrow 4 \text{CuCl} + \text{C}$, к-рую проводят
в запаянной трубке из кремнезема в присутствии
20%-ного избытка Cu при 650—700°. Даны ИК-спектры
образцов CuCl. Получаемый т. о. CuCl несветочувстви-
телен и негигроскопичен. Аналогично получены NiCl₂,
FeCl₂, AgCl и EuCl₂. При т-ре, близкой к коми., Eu
реагирует с CCl₄, давая EuC₂.

И. В. Никитин

2.1981.154

CuCl

1980
⑤ 10 Б850. Устойчивость CuCl-II при повышенных давлениях и пониженных температурах. Skelton E. F., Rachford F. J., Webb A. W., Yu S. C., Spain I. L. Stability of CuCl-II at elevated pressures and reduced temperatures. «High Pressure Sci. and Technol. Proc. 7th Int. AIRAPT Conf., Le Creusot, 1979. Vol. 1». Oxford e. a., 1980, 400—403 (англ.)

Методом рентгенофазового анализа в аппарате высокого давл. с алмазными наковальнями при т-ре 294 К исследованы фазовые переходы в свежеприготовленных образцах CuCl, имеющих структуру сфалерита (фаза II). Давл. определялось методом внутреннего солевого стандарта. Переход из фазы II в тетрагон. фазу IV происходит в интервале $(5,3 \pm 0,2) - (6,5 \pm 0,3$ ГПа), а при $(10,1 \pm 0,3) - (10,4 \pm 0,3$ ГПа) наблюдается переход из IV в фазу со структурой NaCl (фаза V), к-рая сохраняется до максимально достигнутого давл. 22,5 ГПа. Изменения объема при переходах оценено в 12 и 1% соотв. При приближении к переходу II—IV

Tet

Х. 1221/110



Ссылка блокада!

Омск 24/7/94

наблюдается уменьшение сжимаемости, т. е. возрастание жесткости фазы II. С понижением темп. давл. перехода II—IV уменьшается до 5 при 162 К и до 4,5 ГПа при 106 К. Предположено, что структура II сохраняется при 4, ГПа вблизи 0 К. С использованием лит. данных построена фазовая T — P -диаграмма CuCl в диапазоне темп. 0—800 К и давл. 0—11 ГПа.

В. А. Ступников

Суль

Отмиск 14734)

1980

- 5) 5 E693. Стабильность фазы CuCl II при повышенных давлениях и пониженных температурах. Stability of CuCl-II at elevated pressures and reduced temperatures. Skelton E. F., Rachford F. J., Webb A. W., Yu S. C., Spain I. L. «High Pressure Sci. and Technol. Proc. 7th Int. AIRAPT Conf., Le Creusot, 1979. Vol. 1». Oxford e. a., 1980, 400—403 (англ.)

На установке высокого давления с алмазными наковальнями проведено рентгенографич. исследование CuCl. Показано, что при комнатной т-ре переход от структуры типа цинковой обманки к тетраг. структуре (II—IV) происходит в интервале 5,5—6,5 ГПа и от тетраг. структуры к структуре типа NaCl (IV—V) в интервале 10—11 ГПа. Давление перехода II—IV уменьшается с понижением т-ры и равно 5 ГПа при $T=162^{\circ}\text{K}$ и 4,5 ГПа при $T=106^{\circ}\text{K}$. Предполагается, что при $T=0$ давление перехода 4 ГПа. Библ. 16.

Е. С. Алексеев

ф. 1981 N 5

CeCl

Lommel 19205

1980.

Slaby H.

m. gau. Eb-Bc

b. sc. cacciar

CeCl-ZnCl₂

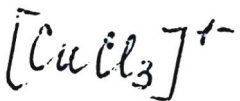
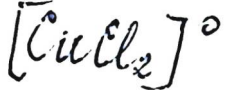
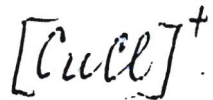
CeCl-CdCl₂

Polish J. Chem.,

1980, 54, 1641-46.

Thermodyn. investigations
of molten salt solutions,,

1981


 (k_s)

12 В20. Термодинамические и спектральные характеристики внутри- и внешне-сферных комплексов. Часть II. Хлорокомплексы двухвалентной меди. Ashurst K. G., Hancock R. D. Characterization of inner- and outer-sphere complexes by thermodynamics and absorption spectra. Part 2. Chloro-complexes of copper(II). «J. Chem. Soc. Dalton Trans.», 1981, № 1, 245—250 (англ.)

При 25° и ионной силе 5,0 ($\text{NaClO}_4 + \text{HClO}_4$) измерены электронные спектры поглощения (СП) водн. р-ров, содержащих $\text{Cu}(\text{ClO}_4)_2$ и NaCl . Показано, что в СП водн. р-ра $\text{Cu}(\text{ClO}_4)_2$ наблюдается полоса 264 нм, к-рая при добавлении NaCl (100-кратный избыток) смещается к 248 нм и сохраняет свое положение вплоть до 300-кратного избытка NaCl . Найдено, что при конц-ии Cu^{2+} 0,006—0,1 М и Cl^- 0,03—4,0 моль/л образуются комплексы $[\text{CuCl}]^+$ (I), и $[\text{CuCl}_2]^0$ (II) и $[\text{CuCl}_3]^{+-}$ (III) с константами устойчивости $1,43 \pm 0,08$, $0,60 \pm 0,03$ и 1171 .

2: 1981 VII

$0,011 \pm 0,002$ соотв. В СП водн. р-ров $\text{Cu}(\text{ClO}_4)_2$ и NaCl отмечена изобестич. точка при 215 нм, отвечающая совместному присутствию комплексов $[\text{Cu}(\text{H}_2\text{O})_x]^{2+}$ и I. По данным СП тех же водн. р-ров в видимой области при соотношении $\text{Cl}^-/\text{Cu}^{2+}$ $0,1/0,05; 0,084/0,1; 0,126/0,1; 0,203/0,1; 0,232/0,1$ найдены значения констант устойчивости I, уменьшающиеся от $1,42 \pm 0,01$ до $0,52 \pm 0,03$ при увеличении конц-ии Cl^- . Статистически оценено значение константы K_4 комплекса $[\text{CuCl}_4]^{2-}$, равное $2,46 \cdot 10^{-3} - 2,58 \cdot 10^{-3}$. С использованием коэф. активности для ионной силы, равной 3 (NaClO_4), одновременно рассчитаны константы устойчивости I, II, III и $[\text{CuCl}_4]^{2-}$, равные $0,52; 0,078; 0,0038$ и $4,6 \cdot 10^{-5}$ соотв. Обсуждены известные из лит. термодинамич. функции образования комплексов $[\text{CuBr}]^+$, $[\text{CuSO}_4]$ и I, а также результаты спектров ЭПР I, II. На основании полученных результатов I и II отнесены к внутрисферным комплексам. Часть I см. Ashurst K. G., Hancock R. D. «J. C. S. Dalton», 1977, 1701.

Н. А. Добрынина

1981

CuCl

19 Б1044. Увеличение ионной проводимости и диспропорционирование в чистом CuCl при высоком давлении. Battlogg B., Remeika J. P., Maines R. G. Enhanced ionic conduction and disproportionation in pure CuCl at high pressure. «Solid State Commun.», 1981, 38, № 2, 83—88 (англ.)

На алмазных наковальнях в области давл. до 12 ГПа исследованы оптич. св-ва и проводимость монокристаллов Cu, Cl, полученных по р-ции $4\text{Cu} + \text{CCl}_4 \rightarrow 4\text{CuCl} + \text{C}$. Показано, что при давл. $5,1 \pm 0,1$ ГПа происходит фазовый переход от структуры цинковой обманки в тетрагон. структуру, а при давл. $8,8 \pm 0,4$ ГПа в структуру типа NaCl . Во время превращения в тетрагон. фазу наблюдается изменение к. ч. и образование ионов меди. Это явление связано с наличием частичной обратимой р-ции диспропорционирования. Конц-ия носителей при этом составляет 10^{18} см^{-3} , коэф. диффузии $4 \times 10^{-7} \text{ см}^2/\text{с}$. Отмечено наличие анодного окисления при приложении внешнего Пт $> 0,7$ В, к-рое маскирует ионную проводимость.

Г. Л. Апарников

Fe

Х. 1981, N 19

Ce₃Cl₃ (2a)
Lummelk 13285] 1981

K₃, SfH,
AfS;

Bloom H., Williams D.J.

J. Chem. Phys., 1981,
75, N 9, 4636 - 4646.

1981

*CuCl**CuBr**CuBr_{0.95}Cl_{0.05}**T₁*

(+) 2

X

(спиралеваты
рассеяние)



16 Б740. Движение ионов Cu в суперионных галогенидах меди. Boyce J. B., Mikkelsen J. C., Jr., Robins L. H. Cu ionic motion in the superionic cuprous halides. Proceedings of the Joint ISMAR—AMPERE International Conference on Magnetic Resonance, Delft, Aug. 25—29, 1980. «Bull. Magn. Reson.», 1981, 2, № 1—4, 267—268 (англ.)

В диапазоне т-р 0—600° измерены времена спин-решеточной релаксации (T_1) ядер ^{63}Cu в галогенидах меди CuCl (I), CuBr и смешанных солях CuBr_{0.95}Cl_{0.05} и CuBr_{0.7}Cl_{0.3}, являющихся суперионными проводниками. По-

2/1981 № 6

казано, что T_1 определяется квадрупольным механизмом релаксации. Для I изменение T_1 от резонансной частоты ω в области $100-300^\circ$ связано с движением ионов Cu^+ . Выше 300° T_1 не зависит от ω и продолжает уменьшаться при приближении к т-ре фазового перехода $\gamma \rightarrow \beta$. Для CuBr в поведении $T_1 (T)$ обнаружены аномалии в области перехода $\gamma \rightarrow \beta$, что объяснено наличием «суперпроводящей» α -фазы с $\sigma = 1 (\Omega^{-1} \cdot \text{см})^{-1}$, в то время как для I состояния с α -фазой σ отсутствуют. Аналогичное аномальное поведение в $T_1 (T)$ обнаружено для $\text{CuBr}_{0.95}\text{Cl}_{0.05}$ и $\text{CuBr}_{0.7}\text{Cl}_{0.3}$.

В. П. Тарасов

CuCl

1981

20 Б1549. Термодинамика смешения бинарных жидких смесей. Галогениды одновалентной меди — галогениды щелочных металлов. Dantzer P. Thermodynamics of mixing of binary liquid mixtures. Copper(I) halides—alkali halides. «J. Phys. Chem.», 1981, 85, № 6, 724—727 (англ.)

Калориметрически определены энталпии смешения (ΔH) систем CuCl (I) — NaCl, I — KCl, I — RbCl, CuBr (II) — LiBr, II — NaBr, II — KBr, II — RbBr при $810,5^{\circ}\text{C}$ и I — LiCl при 663°C во всем интервале составов. Результаты сопоставлены с соотв-щими данными для систем галогениды Ag — галогениды щел. металлов и галогениды Li — галогениды щел. металлов. Установлено, что параметр взаимодействия $\lambda = 4\Delta H_{0,5}$. Табулированы коэф. A и B эмпирич. ур-ния $(4\Delta H_{0,5} - U_0^{2+}) / [\delta_{12}(a_1 - \alpha_2)] = A + B\delta_{12}/(a_1 - \alpha_2)$, где U_0^{2+} — член Лондона — Ван-дер-Ваальса, описывающий взаимодействия между ближайшими молекулами, $(a_1 - \alpha_2)$ — различия в поляризуемости двух катионов расплава, $\delta_{12} = (d_1 - d_2)/d_1 d_2$ — параметр теории конформальных ионных р-ров, d_1 и d_2 — характеристич. межионные расстояния.

А. С. Соловкин

ΔH_{mix}

с измсст.
гашен.



X.20.1981

X

измеркн. замес. + CuCl
(ΔH_{mix})

1981

CuCl

T₂

95: 88418n Spectral absorption shifts in copper(I) chloride vs pressure to 147 kbar. Leibenberg, D. H.; Hudson, J. (Los Alamos Sci. Lab., Los Alamos, NM USA). Report 1981, LA-8706-MS, 8 pp. (Eng). Avail. NTIS. From Energy Res. Abstr. 1981, 6(11), Abstr. No. 16285. Measurements of the absorption spectra of CuCl at 200-800 nm are reported as a function of pressure to 147 kbar. In this region, phase transitions were identified with the abrupt changes of the absorption cutoff, the pressure dependence of the cutoff was detd., and a log-linear response was found for the absorption with photon energy. The measurements were compared with recent published data and indicate a new anomaly for the band gap in CuCl at high pressures.

c.A.1981, 95, n10

Cell

1981

№ 9 Е610. Фазовый переход в твердом CuCl при гидростатическом давлении до 12,8 ГПа. Solid-state phase transitions in CuCl under hydrostatic pressures to 12,8 GPa. Liebenberg D. H., Mills R. L., Hung C. Y., Olsen C., Schmidt L. C. «Proc. Soc. Photo—Opt. Instrum. Eng.», 1981, 288; Proc. Los Alamos Conf. Opt., 7—10 Апр., 1981, 314—316 (англ.) Место хранения ГПНТБ СССР

He;

В ячейке высокого давления с алмазными наковальнями, погруженной в жидкий гелий, изучены фазовые переходы в CuCl в условиях гидростатич. давления до 12,8 ГПа. Подтвержден переход от структуры типа цинковой обманки к тетраг. структуре при $P=4,4$ ГПа. Не удалось обнаружить переход при $P=8,2$ ГПа и появление непрозрачной фазы, связанное с выделением чистой меди, что подтверждает ранее сделанное предположение о большой роли градиента давления при этом переходе.

Е. С. Алексеев

9. 1983; 18, №

1981

CuCl ($\mu \cdot n \cdot$)

Mishra G.P., Rai S.B., Upadhyay,

Can. J. Phys. 1981, 59(2), 289-97.

The A-X system of the CuCl
molecule.

C.A. 1981, 94, N16, 129832t

10/9P

Cell
CuBr

1981

12 Е470. Новое применение ячейки с алмазными наковальнями. Измерения в условиях одноосного напряжения. A new application of the diamond anvil cell: measurements under uniaxial stress. Ves S., Сагдана Мануэл. «Solid State Commun.», 1981, 38, № 12, 1109—1112 (англ.)

Исследовалось оптич. поглощение тонких пленок CuCl и CuBr в условиях высокого одноосного напряжения. Измерения проводились при 100 К в ячейке высокого давления с алмазными наковальнями. Пленки образцов толщиной ~2000 Å напылялись непосредственно на рабочую поверхность одной из алмазных наковален. Давление в камере определялось по сдвигу R_1 -линии флуоресценции рубина, вводимого в рабочий объем. Величина одноосных напряжений в данных опытах достигала 3 ГПА. При атмосферном давлении в спектре оптич. поглощения CuCl и CuBr наблюдается спин-орбитальный экситонный дублет $Z_{1,2}-Z_3$. Под

(41)

ф. 1981, 18, N 12. CuBr

действием приложенного одноосного напряжения пик $Z_{1,2}$ расщепляется на два и все пики смещаются в сторону высоких энергий. Расщепление пика $Z_{1,2}$ позволяет определить сдвиговый деформационный потенциал d . В CuBr величина d составляет $-0,69 \pm 0,03$ эВ, в CuCl $d = +0,45 \pm 0,08$ эВ. Гидростатические деформационные потенциалы для экситонов $Z_{1,2}$ и Z_3 в CuBr $a(Z_{1,2}) = -0,30 \pm 0,02$ эВ, $a(Z_3) = -0,5 \pm 0,04$ эВ; в CuCl $a(Z_{1,2}) = -0,662 \pm 0,075$ эВ, $a(Z_3) = -0,46 \pm 0,03$ эВ. В CuCl при давл. 4,8 ГПа обнаружен индуцированный сдвиговой деформацией новый фазовый переход. Библ. 18. А. И. Коломийцев

Cu Cl⁺

Umnuck 13470] 1982

Cu Cl₃⁻

Skagj;

Arnek R., Puigome-
nech I., Valiente M.,

Acta chem. scand.,
1982, A36, N1, 15-19.

Сел

1982

фазов.
переход.

11 Б525. Зонная структура фаз давления хлорида меди. Борзунов В. Н., Кадышевич А. Е., Русаков А. П. «Физ. и техн. высок. давлений» (Киев), 1982, № 8, 22—25 (рез англ.)

Самосогласованным методом модельного гамильтониана исследовано влияние на зонную структуру CuCl хим. диспропорционирования. Показано, что в фазе давления CuCl возможно образование узкой d -зоны вблизи дна зоны проводимости. Полученная модель зонной структуры позволяет объяснить фазовые переходы в области малых давлений.

Резюме

X, 1983, 19, N 11

Си Сл

1982

3 Е378. Влияние давления и температуры на теплопроводность CuCl. Pressure and temperature effects on the thermal conductivity of CuCl. Slack Glen A., Andersson Рег. «Phys. Rev. B: Condens. Matter», 1982, 26, № 4, 1873—1884 (англ.)

Исследована теплопроводность поликристаллического CuCl в интервале темп. от 100 до 480 К и давл. от 0,5 до 2,7 ГПа. Измерения проводились стационарным методом, в котором плоский проволочный нагреватель помещался между идентичными пластинами образца. Получено, что теплопроводность убывает с ростом температуры и давления. Полученные данные анализируются с использованием сведений о скоростях распространения продольного и поперечного звука, теплового расширения и теплоемкости. Приведены расчеты характеристических параметров и фононных времен релаксации и длины свободного пробега. Указывается, что уменьшение теплоемкости с ростом давления и отрицательное значение параметра Грюнайзена являются следствием вкладов поперечных акустич. фононов. Библ. 32.

В. Е. З.

переводчик

90. 1983, 18,
№ 3

Сел

1982

6 Э725. CuCl. Электрические и оптические свойства в условиях высокого давления и температур от 400° С до жидкого азота. CuCl. Electrical and optical properties at high pressure at temperatures from 400° C to liquid-nitrogen conditions. Vezzoli G. C. «Phys. Rev. B: Condens. Matter», 1982, 26, № 8, 4140—4145 (англ.)

Методом измерения электросопротивления ρ исследована часть фазовой диаграммы CuCl в области давлений до 5 кбар. Опыты проведены в камере высокого давления с наковальнями Бриджмена из твердого сплава на основе WC. Путем измерения изменения ρ в процессе снижения т-ры от 400° С до 77 К в изобарич. условиях определены кривые фазовых превращений II-1, I-жидкость и I \rightarrow III. Выполнены также оптич. исследования CuCl в ячейке с алмазными наковальнями при давлении 50 кбар и комнатной т-ре. Установ-

Электрическ.

и

оптич. св-ва

92. 1983, 18, № 6

лена положительность температурной производной $d\rho/dT$ фазы I. Этот результат, однако, не обязательно служит свидетельством металлич. характера фазы I. Такой эффект может быть приписан, в частности, разложению CuCl с выделением свободной Cu⁰. Обнаружены аномалии в изменении ρ и фазового угла φ в области 100—125 К при измерениях на переменном токе. Эти аномалии могут быть связаны с диамагнетизмом, который привлекает внимание к CuCl как к возможному кандидату в высокотемпературные сверхпроводники.

А. И. Коломийцев

Сел

Омск 15 876!

1982

8 Б906. Масс-спектрометрическое исследование испарения систем хлорид щелочного металла — хлорид одновалентной меди. Mass spectrometric study of the vaporization of the alkali chloride—cuprous chloride systems. Williams David J. «Austral. J. Chem.», 1982, 35, № 8, 1531—1535 (англ.)

С помощью масс-спектрометра, оборудованного эффузионной ячейкой, определен состав пара над системами $MCl-Cu_nCl_n$ (50 мол. %), где M — атом щел. металла. Помимо молекул $CuCl$ ($n=1 \div 4$), MCl и M_2Cl_2 в паре

зарегистрированы MCu_2Cl_3 и для $M=Li$ в незначит. кол-ве M_2CuCl_3 . Из измерений т-рных зависимостей ионных токов определены значения $-\Delta H$ газофазных р-ций $MCl+2/3 Cu_3Cl_3=MCu_2Cl_3$: $156,4 \pm 8,2$ для Li, $136,4 \pm 7,7$ для Na, $128,3 \pm 4,7$ для K, $114,3 \pm 6,6$ для Rb и $125,3 \pm 2,4$ кДж/моль для Cs. Из характера масс-спектров сделан вывод о подобии структур Cu_3Cl_3 и MCu_2Cl_3 .

В. В. Чепик

X. 1983, 19, N8.

(15)

$\text{Li}_3\text{Cl}_2(2)$

UNIVERSITY 15876

1982

Li_4Cl_4

Williams D. J.,

Austral. J. Chem.,

1982, 35, N 8,

1531-5.



CuCl^+ (aq)

Jan. 19092] 1983

15 Б3225. Определение константы устойчивости и молярного поглощения CuCl^+ в водных средах. Evaluation of the CuCl^+ stability constant and molar absorptivity in aqueous media. By гпе Robert H., Weijden Cornelis H. van der, Kester Dana R., Zuehlke Richard W. «J. Solut. Chem.», 1983, 12, № 8, 581—595 (англ.)

УФ-Спектрофотометрическим методом изучено комплексообразование между ионами Cu^{2+} ($1,259 \cdot 10^{-3}$ — $2,518 \cdot 10^{-3}$ M) и Cl^- (0,0002—2,80 M) в водн. р-рах $\text{HCl} + \text{HClO}_4$ (ионная сила $\mu = 2,74$) и $\text{NaCl} + \text{NaClO}_4$ ($\mu = 0,7$) при т-ре 25° С. Рассчитаны константы образования (β_i) CuCl^+ , CuCl_2 и CuCl_3^- , к-рые соотв. равны $\beta_1 = (0,96 \pm 0,16)$ л/моль, $\beta_2 = (0,29 \pm 0,16)$ л²/моль² и $\beta_3 = (0,01 \pm 0,05)$ л³/моль³ в р-рах $\text{HCl} + \text{HClO}_4$ и $\beta_1 = (0,9 \pm 2,2)$ л/моль и $\beta_2 = (0,3 \pm 1,6)$ л²/моль² в р-рах $\text{NaCl} + \text{NaClO}_4$. Анализ полученных эксперим. данных показал, что в 1 M р-ре HClO_4 $\beta_1 = (0,70 \pm 0,23)$ л/моль.

X.1984, 19, N 15

Определено молярное поглощение CuCl^+ при 250 нм, равное $1860 \text{ см}^2/\text{моль}$. Сравнение полученных и лит. данных показало, что в р-рах $\text{Mg}(\text{ClO}_4)_2$ образуются комплексы MgCl^+ , причем величина β_1 для них равна $\sim 0,2 \text{ л/моль}$ при $\mu = 1,17 - 3,66$ и $\leq 0,37 \text{ л/моль}$ при $\mu = 1$. Результаты критически сопоставлены с известными в литературе. Библ. 30. К. М. Фролов

у
ст:

full⁺

(Om. 19092)

1983

100: 40590g Evaluation of the copper chloride ($CuCl^+$) stability constant and molar absorptivity in aqueous media. Byrne, Robert H.; Van der Weijden, Cornelis H.; Kester, Dana R.; Zuehlke, Richard W. (Dep. Mar. Sci., Univ. South Florida, St. Petersburg, FL 33701 USA). *J. Solution Chem.* 1983, 12(8), 581-95 (Eng). Upper and lower bound ests. of the $CuCl^+$ stability consts. produced by various investigations were examd. quant. Analyses, including UV spectroscopic investigations, indicate that the $CuCl^+$ stability const. in 1M $HClO_4$ is $\beta_1 = 0.70 \pm 0.23$. The $CuCl^+$ molar absorptivity at a wavelength of 250 nm was detd. at $1860 \text{ cm}^2\text{-mol}^{-1}$. Analyses suggest the bound $\beta'_1 \leq 0.37$ for the formation const. of $MgCl^+$ at ionic strength ≈ 1 .

Kemad.

(+) IX

c.A. 1984, 100, N 6

CuCl^+

1983

Chernaya S. S., Matse-
evskii B. P., et al.

Latv. PSR Zinat. Akad.

Kemad. Vestis, Kim. Ser. 1983, (3),
336-40.

(crys. $\text{CuCl}_2^- ; \text{I}$)

Cell

1983

3 Б3070. Определение избыточных термодинамических функций в расплавленной тройной системе CuCl, KCl, LiCl методом э. д. с. Bestimmung der thermodynamischen exzessfunktionen des flüssigen ternären systems CuCl, KCl, LiCl aus emk-messungen. Gia zitzoglou Z. «Electrochim. acta», 1983, 28, № 4, 491—494 (нем.; рез. англ.). Место хранения ГПНТБ СССР

Метод э. д. с. с использованием гальванич. элемента типа $(-) \text{Cu}(\text{тв.})/\text{CuCl}$, KCl, LiCl (жидк.)/KCl, LiCl (жидк.)/ Cl_2 (газ.), С использован для определения $\Delta G(\text{обр.})\text{CuCl}$ (I) в интервале от 400 до 750° С. Электролитом являлась эвтектич. смесь 41,5 мол.% KCl — 58,5 мол.% LiCl. Конц-ия I в расплаве варьировалась от 1,9 до 49,88 мол.%. При измерении э. д. с. потенциалобразующей р-ции вводилась поправка на термо-э. д. с. пары Cu—C. Парц. свободная энергия образования I вычислялась по ур-нию $G^{\text{E}} = -F(E - E_0) - RT \ln X$, где F — число Фарадея, E — потенциал

$\Delta f_f;$

X. 1985, 19, N3.

токообразующих р-ций с разными мольными долями x_1 , E_0 — потенциал образования I (жидк.), вычисленный по данным справочника Барина и Кнаке. Значения G^E вычислены также по ур-нию Редлиха—Кистера в хорошем соответствии с опытными данными. Приведены зависимости коэф. активности, G^E , H^E , TSE от x_1 .

Л. А. Резницкий

Lill⁺
(aq.)

Om. 18512

1983

Ramette R., Fan G.,

Inorg. Chem., 1983,

22, N₂₂, 3323 -

3326.



CuCl

1983

) 12 E598. Полиморфизм CuCl при высоком давлении.
On the high-pressure polymorphism of CuCl. Smo-
lander K. J. «J. Phys. C: Solid State Phys.», 1983,
16, № 19, 3673—3684 (англ.)

На основе модели Борна в выражении для энергии связи для CuCl учтены энергия Маделунга, диполь-дипольная часть энергии дисперсии (энергия Ван-дер-Ваальса), анион-анионное и анион-катионное отталкивание. Параметры в выражении для отдельных членов подобраны в результате детального анализа экспериментальных результатов. Проведено также сравнение различных возможных типов искажений структуры типа NaCl. В результате этого анализа высказано предположение, что для фазы CuCl-IV предпочтительными могут быть структуры с пр. гр. $P4_2/mcm$ и $Fddd$. Библ. 31. Е. С. А.

cf. 1983, 18, N 12

all

1983

7 Б3097. Термографическое исследование системы
KCl—CsCl—CuCl. Василькова И. В., Шапкин П. С., Савчикова Т. Н. «Вестн. ЛГУ», 1983,
№ 22, 38—42 (рез. англ.)

Термографическим методом изучена диаграмма плавкости системы KCl—CsCl—CuCl. По данным о бинарных системах проведен термодинамич. расчет Пв ликвидуса, определены состав и т-ра кристаллизации тройных эвтектик. Результаты расчета и эксперимента хорошо согла-
суются.

Резюме

X. 1984, 19, № 7

Cell

1984

) 4 Б3045. Медь-хлорный термохимический цикл разложения воды для получения водорода. The copper-chlorine thermochemical cycle of water splitting for hydrogen production. Barbooti Mahmood M., Al-Api Ramzi R. «Thermochim. acta», 1984, 78, № 1—3, 275—284 (англ.)

Проанализированы термодинамич. характеристики цикла Cu—Cl₂ получения H₂ из воды. Цикл включает р-ции $2\text{Cu} + \text{HCl} = 2\text{CuCl} + \text{H}_2$ (100° С) (1), $2\text{CuCl} = \text{CuCl}_2 + \text{Cu}$ (30—100° С) (2), $\text{CuCl}_2 = \text{CuCl} + 0,5\text{ Cl}_2$ (500° С) (3), $\text{Cl}_2 + \text{Mg(OH)}_2 = \text{MgCl}_2 + \text{H}_2\text{O} + 0,5\text{ O}_2$ (80° С) (4), $\text{MgCl}_2 + 2\text{H}_2\text{O} = \text{Mg(OH)}_2 + 2\text{HCl}$ (350° С) (5). Преимуществом цикла является низкая стоимость в-в, легкость выделения H₂ и умеренная т-ра, не превышающая 500° С. Эта т-ра может быть получена в солнечных печах. Эксперим. работа проводилась методами ДТА и ТГА, ΔG р-ций вычислялись по лит. данным. Эффективность р-ции (1) составляла 56—77% при использо-

X.1985, 19, N 4

ваний 37% соляной к-ты в т-рном интервале 100—140°. Регенерация Си по (2) исследована путем кратковременного нагревания продукта р-ции (1) при 70—90° С. Кинетич. данные (3) определены методом Коатса и Редферна с использованием данных ТГА для $\text{CuCl}_2 \cdot 2\text{H}_2\text{O}$: порядок р-ции (3) равен 1,093, $E_{\text{акт}} = -98,59$ кДж/моль, коэф. корреляции 0,99408. При изучении р-ции (4) сконструированы реакторы разных типов, продукты анализировались рентгенографически. Наибольший выход MgCl_2 до 27% получен при пропускании смеси $\text{Ar} + \text{Cl}_2$, а не чистого Cl_2 . Максим. выход HCl по (5) составляет 18% от теор., выход контролируется диффузионными затруднениями. Приведена технологич. схема процесса.

Л. А. Резницкий



Суффикс

1984

3 Б3309. Терлоты растворения хлорида одновалентной меди в смешанных водных растворах $\text{HCl}-\text{HClO}_4$. Heats of solution of cuprous chloride in aqueous $\text{HCl}-\text{HClO}_4$ mixtures. Fritz J. J. «J. Solut. Chem.» 1984, 13, № 5, 369—382 (англ.)

С использованием вирнальной модели Питцера (и, в частности, параметров $\beta^{(0)}$, $\beta^{(1)}$ и C для каждой находящейся в р-ре ионной пары) проанализированы лит. эксперим. данные о теплотах р-рения CuCl (I) в водн. р-рах $\text{HCl}-\text{HClO}_4$. Описаны применяющиеся для расчетов термодинамич. ур-ния. Табулированы вычисленные т-рные пр-ные указанных вирнальных параметров для ионов CuCl_2^- (II), CuCl_3^{2-} (III), $\text{Cu}_2\text{Cl}_4^{2-}$ (IV) и $\text{Cu}_3\text{Cl}_6^{3-}$ (V), станд. энталпии р-рения II и III (ΔH° при т-рах 5, 25 и 35°C), константы равновесия и изменения термодинамич. параметров (ΔH° , ΔG° , ΔS°) образования II и III из тв. I и из иона Cu^+ . Графически представлены мол. теплоты р-рения I в

Заг. Н.

Х. 1985, 19, № 3.

водн. р-рах $\text{HCl}-\text{HClO}_4$ в зависимости от конц-ии Cl^- (0—2 М) при ионных силах р-ра от 0,5 до 6,5 (25°C , в насыщ. р-рах). Отмечается согласие полученных результатов с лит. данными; рассчитанными на основании эксперим. определения р-римости I. Обсуждаются влияние т-рной зависимости коэф. активности на р-римость электролита и др. приложения использованного метода для термодинамич. расчетов. Л. В. Арсеенков.

Lill

1984

101: 79474t Heats of solution of cuprous chloride in aqueous hydrochloric acid-perchloric acid mixtures. Fritz, J. J. (Dep. Chem., Pennsylvania State Univ., University Park, PA 16802 USA). *J. Solution Chem.* 1984, 13(5), 369-82 (Eng). Exptl. heats of soln. of CuCl in aq. HCl-HClO₄ mixts. were analyzed by using a virial model to represent the effects of soln. compn. on activity coeff. of all species. The thermodn. needed for this purpose are described briefly. Optimization of the representation of the data produced values of std. heats of formation CuCl₂⁻ and CuCl₃²⁻ which agreed with those previously deduced from solv. data, as well as temp. derivs. of the virial parameters. Uses of the resultant information are discussed.

Soln H;

(f2) 18

CuCl₂⁻, CuCl₃²⁻ (sfH)

C.A. 1984, 101, N10

1984

Суль + 19 Б3054. Константы образования хлорида меди(II) в диметилсульфоксиде и диметилформамиде. Ионин М. В., Шерстнева Т. В., Шанина П. И. «Термодинам. свойства растворов». Иваново, 1984, 108—112.

Константы равновесий $\text{Cu}^{2+} + \text{Cl}^- = \text{CuCl}^+$ (1) и $\text{Cu}^{2+} + 2\text{Cl}^- = \text{CuCl}_2$ (2) определены от измерений электропроводности р-ров в ДМСО и ДМФА при конц-ии электролита от 0 до 0,0025 моль/м³ при т-рах 298, 303, 313 и 323 К. Особенность использованного метода в том, что избыток свободных лигандов не вводился и их конц-ия определялась только равновесным состоянием самой системы. Результаты описаны ур-ниями вида $-\Delta G$ (кДж/моль) = $A + B \cdot 10^{-1}$ ($T - 298,15$) — $C \cdot 10^{-3}(T - 298,15)^2 + D \cdot 10^{-5}(T - 298,15)^3$, коэф. к-рых A , B , C и D составили соотв.: р-ры в ДМСО (1) 15,6; 1,345; 3,2 и 6; (2) 27,8; 2,475; 6 и 10; р-ры в ДМФА (1) 13,6; 0,8233; 0,4 и —1,333; (2) 22,8; 1,325; —2 и —10. Отмечено, что энтропийный фактор является определяющим в процессе комплексообразования хлорида меди в изученных р-рителях. Это указывает на протекание процессов при разупорядочении системы. А. С. Гузей

Суль № 19
X. 1985, 19, N 19

Gill (K.M.)

1984

Pankratz L.B.,

M.G.

298.15
1700K

U. S. Bureau of
Mines, Bull. 674, p 182.

182

Лекции (аг)

1985

22 Б3281. Компьютерный метод расчета полностью равновесных диаграмм и его применение. II. Равновесие хлорида меди в водных растворах. Luo Rutie. «Юсэ цзиньшу, Nonferrous Metals», 1985, 37, № 2, 35—41 (кит.; рез. англ.)

Изучено равновесие хлорида Cu в водн. р-рах. На базе эксперим. результатов и обобщения лит. данных предложена простая ф-ла для расчета коэф. активности, расчет по к-рой согласуется с экспериментом в пределах 10%. Указывается, что предложенный метод может быть полезен не только в термодинамич. анализе различных систем, но и при оценке равновесных констант.

По резюме

Х. 1985, 19, № 22

Hillag

1985

103: 129963r A computer method for all-equilibrium diagrams and applications. II. Equilibrium of cuprous chloride in aqueous solutions. Luo, Rutie (Central-South Inst. Min. Metall., Changsha, Peop. Rep. China). *Youse Jinshu* 1985, 37(2), 35-41 (Ch). A study on the equil. of CuCl in aq. solns. is presented. Based on exptl. investigation, the stability consts. of the complexes were carefully selected from different reports up to date, along with a simple formula for evaluation of activity coeffs; agreement of calcd. with exptl. data was within 10%. A reasonable explanation was then obtained from a potential-total concn. diagram of Cl on the yield of CuCl from Cu-bearing solns. by redn. with SO₂ and with metallic Cu. The method is useful not only for the thermodn. anal. of practical systems, but also for the evaluation of equil. consts. In study.

Konad.

C.A. 1985, 103, N16.

Cull⁺ (DM. 24818)

1986

Δ Mag,
Kp.
(баке-
масын-
жоғары)

Ishiguro S., Suzuki H.,
Jeliavkova B.G., et al.

Bull. Chem. Soc. Jap.,
1986, 59, N 8, 2407 -
2413.

Cell

Srigouri

1986

105: 200017j Vapor pressure equation for metal halides used in double pulse lasers. Srigouri, K.; Ramaprabhu, S.; Rao, T. A. Prasada (Dep. Phys., Indian Inst. Technol., Madras, 600 036 India). *Curr. Sci.* 1986, 55(19), 974-5 (Eng). Vapor pressure equations, obtained by least square fitting of reported vapor pressures and temps., are presented for CuCl, CuBr, CuI, PbCl₂, PbBr₂, PbI₂, and MnCl₂ which are of interest to those working with metal vapor lasers using metal halides. The equations will be useful for the estn. of the populations of the metal atoms in laser levels and ground states using $N = P/KT$ where P is the mol. vapor pressure at temp. T , N is the mol. vapor d., and K is the Boltzmann const.

(P)

76 



C.A. 1986, 105, N 22

CeCl₄(aq) 1986
Staples B.R.,
Farvin A., et al.

(Cp, H-H) NBS Spec. Publ (U.S.)
Bibl. 1986, 718, 146 pp.

(cav. CO₂ (aq); I)

ll

1987

22 Б2052. Рассеяние нейтронов на порошковом
CuCl при 8—685 К. Neutron scattering measurement on
CuCl powder at 8—685 K. Graneli B., Dahlborg U.,
Fischer P. «6th Int. Conf. Solid State Ionics, Garmisch—
Partenkirchen, Sept. 6—11, 1987. Extended abstr.» S 1,
s. a., 159 (англ.)

Методом дифракции нейтронов (многодетекторный
дифрактометр, профильный анализ) исследована кубич.
фаза CuCl. Выше коми. т-ры возрастает ангармонич.
ность колебаний ионов, причем преимущественным на-
правлением смещений является $\langle 111 \rangle$. При высоких
т-рах возникает диффузное рассеяние, обусловленное
беспорядком.

С. Ш. Шильштейн

Х. 1988, № 22

Сел

1987

) 5 Б2027. Нейtronографическое исследование ионного проводника CuCl. Neutronenbeugungsuntersuchung des Ionenleiters CuCl. Granelli B., Dahlborg U., Fischer P. «Helv. phys. acta», 1987, 60, № 5—6, 817 (нем.)

Проведено нейtronографич. исследование (метод порошка, анализ профиля линии, т-ра 8—685 К) 2 модификаций CuCl. Обсуждены различные модели термич. поведения ионов.

В. Б. Калинин

Х. 1988, 19, N5

CuCl(aq)

1987

16 Б3228 ДЕП. Физико-химические свойства купро-хлоридных растворов. Каримова Н. Н., Ксандров Н. В., Никандров И. С., Герега В. Ф.; Ред. «Ж. прикл. химии», Л., 1987. 5 с. Библиогр. 4 назв. Рус. (Рукопись деп. в ВИНИТИ 24.03.87 № 1076-В87)

Определены теплоемкости (C_p), рН, давл. паров воды $P_{(H_2O)}$ и хлористого водорода (P_{HCl}) для совместных водн. р-ров $CuCl$ и $MgCl_2$, представляющих собой перспективные сорбенты для концентрирования CO, при т-рах 293—373 К в интервале изменения конц-ий $MgCl_2$ от 3 до 5 М и $CuCl$ 0,7—2,5 М. C_p изменяется в этих условиях от 1,4 до 2,7 кДж/кг·К, рН от 3,1 до 4,0. P_{H_2O} соответствует значению активности воды в р-рах от 0,19 до 0,50, P_{HCl} составляет 4—46 Па. Полученные данные могут быть использованы при проектировании установок концентрирования CO из газ. смесей.

Автореферат

X. 1987, 19, n 16

(4)

MgCl₂(aq)

CuCl

1987

Pil I.Y., Tsenezhman
Z. Sh., et al.

P, Izv. Vyssh. Uchebn.
znanii Zaved., Tsvetn. Me-
tall. 1987, (5), 45-9.
6 rapax.

(cсн. FeCl_2 ; №) I

$(\text{Cu Cl})_n$

1987

Назаров К., Бадалов А., Шаймуратов И.Б.

Полимеризация парообразного хлорида меди-(1)

// Изв. АН ТаджССР. Отд-ние физ.-мат., хим. и геол. наук. –
1987. – № 4. – С. 98–101.

Рез. тадж.

Библиогр.: 6 назв.

— 1. Медь (1), хлориды – Пары – Состав.

№ 128279

УДК 541.122.4:546.561.131.141

18 № 8119

ЕКЛ 17.4

НПО ВКП 15.12.88

Cult
Tulip

1988

Бедилов В.Н., Лебедева Н.П. и др;

Преимущественное использование
типа рабоческих в макетах
с участием хоругвей Ильи.

(И.Д.Н.)

XII Всесоюзного Конгресса
издиг по художественной терапии
имени  и конгрес-
сионции, мезузы

31

стенографиях Фокинаров,

г. Т, сеп. 31, Горбунов, 1988 г.

Ci, Cl⁺

1988

Zibus Włodzimierz,
Pastewski Roman.

4f H

J. Solstion Chem.

1988, 17(1), 59-65.

(see, Mr Cl⁺; ?)

Л. С. Руинов и. д., доцент каф., 1988

Лаас-спектрометр. определение
легких элементов в измельченной
формировке, хлоридов Кобальта,
никеля и серебра.

№

XII Всесоюзная конференция
по химическому методу
анализа и калибровке приборов,

МЕДУСЫ СТЕНОВЫХ ДОКЛАДОВ,

г. І, квр. 14, Торецьк, 1988.

Си Си

Лот. 29477

1988

Пиль А.Н., Букилев Б.Н.
и сп.

P, Kp; Чж. Вузов. Уч. мемас-
лургии, 1988, N1,
21-25.

Лиц.

Васильев В.П.,

1988

(144)

Изменение бром-бромид-
ных растворов при опре-
длении кинетического обра-
зования ионов в растворе
и кристал. лимонн.

XII Всесоюзная Конферен-
ция по химической методике

дикореческое и ксероксереское.

Межвузовский сборник.

Тюмень, стр. 52-54, 1988г.

Ce₂Cl

1989

Rhodeyev Yu. S., Ryzhov M. Yu.

K_p, R_o, HB. Proc. 11th Int. Mass

Specrom. Conf., Bordeaux,
29 Aug.-2 Sept., 1988. London,
1989. C.



1126-1127.

(Cer. clgF; I)

Січ

1989

11 В5. Низкотемпературный синтез однохлористой меди / Климов В. В., Сытник Н. А., Целинский Ю. К. // 12 Укр. респ. конф. по неорган. химии, Симферополь, 2—5 окт., 1989: Тез. докл. Т. 1.— Симферополь, 1989.— С. 31.— Рус.

Методами диф. термич. рентгенофазового и хим. анализа изучен механизм взаимодействия в системах $\text{CuO}-\text{NH}_4\text{Cl}$ (1) и $\text{Cu}_2\text{O}-2\text{NH}_4\text{Cl}$ (2). Установлено, что при нагревании до 500°C медь ($1+$, $2+$) полностью переходит в однохлористую медь, в кач-ве побочных продуктов выделяются H_2O и NH_3 . Процесс в системе (2) начинается при т-ре $\leq 100^\circ\text{C}$, сопровождается плавлением смеси и образованием $\text{Cu}(\text{NH}_3)_{0.5}\text{Cl}$ (I). В системе (1) р-ция начинается при более высокой т-ре, образуется $\text{Cu}(\text{NH}_3)\text{Cl}$ (II). При дальнейшем нагревании I и II переходят в CuCl . Выделяющиеся пары воды и аммиака сдвигают р-цию в сторону образования однохлористой меди. Разработан метод получения однохлористой меди, названный низкот-рным. Низкот-рный метод получения однохлористой меди обеспечивает 100%-ное использование исходного сырья. Получен продукт, соотв. требованиям электротехн. промышленности.

По резюме

Х. 1990, N 11.

Сиц

1989

10 E530. Фазовые превращения и упругие свойства при высоком давлении в халькогенидах меди. Phase transition and high-pressure elastic behavior of copper halides / Singh R. K., Gupta D. C. // Phys. Rev. B.—1989.—40, № 16.—C. 11278—11283.—Англ.

Методом минимизации свободной энергии Гиббса в ф-ции давления с учетом изменения заряда (или трехчастичного взаимодействия) рассчитаны давления фазовых превращений из структуры цинковой обманки (ZnS) в структуру каменной соли ($NaCl$) халькогенидов меди \underline{CuCl} , \underline{CuBr} , и \underline{CuJ} ($P_t = 9,75; 8,2$ и $8,5$ ГПа соответственно). Вычислены также ур-ния состояния и скачки объема при P_t и упругие постоянные (УП) C_{11} , C_{12} и C_{44} и их комбинации в зависимости от давления. УП C_{44} и $C_s = 1/2(C_{11} - C_{12})$ уменьшаются при повышении давления для всех халькогенидов, остальные УП увеличиваются с давлением. Эти особенности подтверждаются эксперим. данными для $CuCl$. Библ. 25.

В. Прохоров

(т2)
18

сб. 1990, N10

1989

18 Б3175. Фазовый переход в упругое поведение при высоком давлении галогенидов меди. Phase transition and high-pressure elastic behavior of copper halides / Singh R. K., Gupta D. C. // Phys. Rev. B.—1989.—10, № 16.—С. 11278—11283.—Англ.

Путем минимизации свободной энергии Гиббса в зависимости от давл. и передачи заряда (или взаимодействия трех тел), вызываемого перекрытием электронных уровней соотв-щих ионов, рассчитаны давл. фазовых переходов в галогенидах меди CuCl, CuBr и CuI. Исследовано также ур-ние состояния, предсказывающее резкое изменение объема при переходе. Обнаружено хорошее соответствие между вычисленными давл. фазовых переходов и уменьшения объемов с лит. эксперим. данными. Показано, что упругие постоянные C_{11} , C_{12} и их комбинации B_t и C_L возрастают с увеличением давл., а сдвиговые модули C_{44} и C_8 уменьшаются с давл.. для всех галогенидов. По резюме

T_{t2}

(t2) X

X. 1990, N 18

Cell

1989

112: 88660e Phase transition and high-pressure elastic behavior of copper halides. Singh, R. K.; Gupta, D. C. (Sch. Phys., Bhopal Univ., Bhopal, 462026 India). *Phys. Rev. B: Condens. Matter* 1989, 40(16), 11278-83 (Eng). The phase-transition pressures of Cu halides (CuCl, CuBr, and CuI) were computed by employing the minimization technique of Gibbs free-energy expressed as a function of pressure and charge transfer (or 3-body interactions) caused by the overlap of electron shells of the adjacent ions. The equation of state, which shows an appreciable vol. collapse at the phase-transition pressures was also investigated. The calcd. values for the phase-transition pressures and the assoed. vol. collapses are generally in excellent agreement with their measured data. The pressure variations of the elastic consts. (C_{11} , C_{12} , and C_{44}) and their combinations varied such that the values of C_{11} , C_{12} , B_P [$=1/3(C_{11} + 2C_{12})$], and C_L [$=1/2(C_{11} + C_{12} + 2C_{44})$] increase with pressure, while those of the shear moduli C_{44} and C_S [$=1/2(C_{11}-C_{12})$] decrease with it for all the Cu halides. This feature is consistent with that obstd. in CuCl.

T₂

(t2)_{x1}

c.A.1990, 112, N10

CuBr, CuI

Сел

1989

6 В3. Получение высокочистого монохлорида меди /
Загороднев В. Н., Личкова Н. В., Надь В. Ю. // Высо-
кочист. вещества.— 1989. — № 6.— С. 62—64.— Рус.

Исследовано поведение примеси ионов меди(2+) при
проведении процесса термообработки монохлорида меди
в присутствии хлористого аммония. Показана эффектив-
ность использования данного галогенидагента для очист-
ки CuCl от примесей кислородсодержащих анионов и ка-
тионов Cu²⁺. Сочетание данного способа очистки с зон-
ной плавкой позволяет получать монохлорид меди с
содержанием ионов Cu²⁺ и ряда металлич. примесей
менее 1·10⁻⁴ мас%.

Резюме

X. 1990, N 6

CeO_2Cl - ~~6 comecat~~^{equimol.}, $\text{NaCl} + \text{KCl} + \text{CsCl}$
uper $700-900^\circ$

1990

Tumidajski P. J.,
Flengas S. N.

(ΔG ,
 ΔH)

J. Electrochem. Soc. 1990,
137(9); 2717-26.

(Cer.  CoCl_2 ; ?)

Cell,

1991

1.115: 240243t Molar volume of molten cuprous halides. Inui, Masanori; Takeda, Shinichi; Uechi, Tetsuo (Coll. Gen. Educ., Kyushu univ., Fukuoka, Japan 810). *J. Phys. Soc. Jpn.* 1991, 60(9), 3190-1 (Eng). The molar vols. of molten CuX (X = Cl, Br, I) were detd. by γ -ray spectrometry from the m.p. to 900°. The molar vol. increases from CuCl to CuBr almost linearly with ionic vol.

MON. OF REA
PACIFICAT

(+2) CuBr, CuI

C.A. 1991, 115, N 22

list

1991

7 Б3202. Молярный объем расплавленных галогенидов одновалентной меди. Molar volume of molten cuprous halides / Inui Masanori, Takeda Shin'ichi, Uechi Tetsuo // J. Phys. Soc. Jap.— 1991.— 60, № 9.— С. 3190—3191.— Англ.

При т-рах (T) от т. пл. до 800° С в атмосфере чистого Аг при давл. 1 атм. с использованием методики поглощения рентгеновских лучей определены мол. объемы (V) расплавленных CuX , где $X=\text{Cl}$, Br и I. Приведены ур-ния, описывающие т-рную зависимость V для изученных солей. Величина V для CuI меньше оцененной из отношения ионных объемов, что указывает на деформацию ионов I^- в этом расплаве. Линейная т-рная зависимость V для этой соли предполагает существование тетраэдрич. структурной сетки с достаточн. ковалентными связями. В случае CuCl V является ф-цией T^2 , что отражает характеристич. тепловое движение в этой соли, к-рая обладает св-вами как молек. так и ионной жидкостей.

И. Е. Кузнец

исследований
отдела

№ 12

Х. 1992, № 7.

СиBr, СиI

Gill

1991

Kudin L.S., Pogrebnoy A.M.
et al.,

Intern. Symposium on Calo-
rimetry, Moscow, 23-28
June 1991, Abstracts, 72.

(Kp, S Hf)



72

CuCl

1992

Регион С.С., Бурзуков-
ская Т.Т. и др.

(Kp, ΔH)
Узб. Вузов. Классика и
нов. метод. 1992.
35, NS.C. 109-115.

(см. CuCl₂; I)

1993

10И174. Диамагнитные свойства расплавленных галогенидов меди и их смесей. Diamagnetic properties of molten cuprous halides and their mixtures / Shirakawa Yoshiyuki, Tamaki Sigeru, Okazaki Hideo, Azuma Masayoshi // J. Phys. Soc. Jap.. — 1993. — 62, № 2. — С. 544—551. — Англ.

Для расплавленных галогенидов меди и их смесей выполнены измерения магн. восприимчивости в зависимости от т-ры в интервале 300—1000 °С. Аналогичные измерения проведены также для галогенидов калия. Найдено, что т-рная зависимость магн. восприимчивости для расплавленных йодида и бромида меди обладает небольшими парамагн. отклонениями по сравнению с расплавленными галогенидами калия. Показано, что зависимость от состава для расплавов CuCl—CuI и CuBr—CuI подчиняется правилу Видемана, тогда как для расплавленной системы CuCl—CuBr наблюдается большое отклонение от этого правила. Библ. 24.

(2)



Лед, ССРС

Ф. 1993, № 10

23 Б223. Полиморфизм при высоком давлении галогенидов одновалентной меди: нейтронографическое изучение до ~ 10 ГПа: High-pressure polymorphism of the copper(I) halides: a neutron-diffraction study to ~ 10 GPa / Hull S., Keen D. A. // Phys. Rev. B. — 1994. — 50, № 9. — С. 5868—5885. — Англ.

Нейтронографически изучены $\text{CuCl}(\text{I})$, $\text{CuBr}(\text{II})$, $\text{CuI}(\text{III})$ под гидростатическим давлением. При давлении до ~ 10 ГПа у I и II происходит превращение структуры типа сфалерита(IV) с тетраэдрической координацией в тип поваренной соли(V) с октаэдрической. У III перехода до ~ 10 ГПа не установлено. Изучены более низкосимметричные промежуточные между IV и V фазы. Установлены три различных структурных типа с пространственными группами $\text{Ra}\bar{3}(\text{Ia}, \text{IIb})$, $\text{P}4/\text{nmm}(\text{IIa}, \text{IIIb})$, и $\text{R}\bar{3}\text{m}(\text{IIIb})$. В промежуточных структурах атомы Cu^+ сохраняют тетраэдрическую координацию, хотя искажение более существенно у I и II, чем у III. Приведены параметры решеток, $\Delta V/V_0(\%)$, давление при переходе $I_d(hkl)$ для Iб, IIIб, некоторые физические свойства, эволюция диаграмм состояния по дифракционным картинам. Н. Л. Смирнова

Х. 1996, N 23

Си Br, Си I

Лиц

1994

Бенеев В.Н., Лебедева А.А.
и др.,

Лп. № 0
дл. пр. химии, 1994, б8,
№ 8, 1088 - 1095

г. А.Х. № 23, 1994,

23 53068

ily conductive. g-x $D_s(Ag-Cl) = 372 \pm 5$

$D_s(AgCl) = 31.7 \pm 2$

Cyanoacrylate
no green

yellow $D_s(AgCl) = 31.7 \pm 6$

Сел

1996

18Б213. Основное состояние структурных аномалий в галидах меди: CuCl. Ground state structural anomalies in cuprous halides: CuCl / Park C. H., Chadi D. J. // Phys. Rev. Lett.— 1996.— 76, № 13.— С. 2314–2317.— Англ.

С помощью расчетов методом псевдопотенциала, проведенных на основе первых принципов, изучена структурная нестабильность CuCl (I). Выявлены метастабильные состояния I, которые позволяют объяснить его аномальные физические свойства. Показано, что в кристаллической структуре I имеет место коррелированное смещение группы из четырех атомов Cu, окружающих общую тетраэдрическую позицию, что спонтанно понижает энергию I. При низких температурах около 20% ионов меди I участвуют в таком смещении. Расстояние Cu—Cu в комплексах Cu_4 сокращается с 3,82 до 2,72 Å, приближаясь к величине длины связи в металлической меди (2,56 Å). Рассчитаны энергии образования группировок Cu_4 в CuBr и CuI. Сделан вывод о неустойчивости таких группировок в CuI.

В. А. Долгих

структура
метастабильн.

X. 1997, N 18

Сел

1996

) 18Б213. Основное состояние структурных аномалий в галидах меди: CuCl. Ground state structural anomalies in cuprous halides: CuCl / Park C. H., Chadi D. J. // Phys. Rev. Lett.— 1996.— 76, № 13.— С. 2314–2317.— Англ.

С помощью расчетов методом псевдопотенциала, проведенных на основе первых принципов, изучена структурная нестабильность CuCl (I). Выявлены метастабильные состояния I, которые позволяют объяснить его аномальные физические свойства. Показано, что в кристаллической структуре I имеет место коррелированное смещение группы из четырех атомов Cu, окружающих общую тетраэдрическую позицию, что спонтанно понижает энергию I. При низких температурах около 20% ионов меди I участвуют в таком смещении. Расстояние Cu—Cu в комплексах Cu₄ сокращается с 3,82 до 2,72 Å, приближаясь к величине длины связи в металлической меди (2,56 Å). Рассчитаны энергии образования группировок Cu₄ в CuBr и CuI. Сделан вывод о неустойчивости таких группировок в CuI.

В. А. Долгих

Структуры
нестабильны

Х. 1997, N 18

Cell

1996

125: 311196z Ground state structural anomalies in cuprous halides: CuCl. Comments. Goebel, A.; Ruf, T.; Cardona, M.; Lin, C. T.; Merle, J. C. (Max-Planck-Inst. Festkoerperforschung, D-70569 Stuttgart, Germany). *Phys. Rev. Lett.* 1996, 77(12), 2591 (Eng). A polemic in response to C.H. Park and D.J. Chadi [ibid. 76, 2314 (1996)], concerning the interpretation of the anomalous Raman spectrum of CuCl in the TO-phonon regime. Isotope effect data is used to argue against the formation of Cu₄ centers.

(Opp. approach
Cu₄)

C.A. 1996, 125, N24

Gill

(OM. 38408)

1996

Hildebrand D.L., dan L.H.,

(Kp, SH) High Temp. and Materials
Science, 1996, 25, N1, 11-19

Cell

19.96

125: 311197a Ground state structural anomalies in cuprous halides: CuCl. Reply to comments. Park, C. H.; Chadi, D. J. (NEC Res. Inst., Princeton, NJ 08540 USA). *Phys. Rev. Lett.* 1996, 77(12), 2592 (Eng). A reply to a polemic by A. Goebel et al. (*ibid.* 2591). The formation of Cu₄ complexes in CuCl may not fully explain the anomalous Raman spectrum in the TO-phonon region. However, recent muon spin rotation expts. may show evidence for these complexes.

(offpaper)
(Cu₄)

C.A. 1996, 125, N 24

CuCl

Лоттииск 42097 2001.

(C_p, T_{tr})

$$T_{tr} = \frac{410^\circ\text{C}}{\frac{273}{683\text{K}}}$$

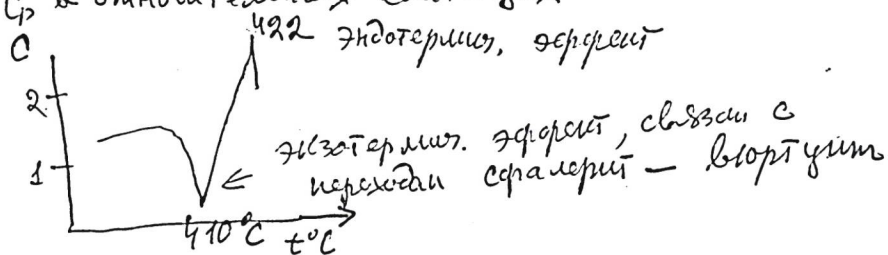
$$T_m = \frac{422^\circ\text{C}}{\frac{273}{695}}$$

F: CuCl (C_p, T_{tr})

P: 1 01.18-19Б2.278. Особенности структурного перехода сфалерит-вюрцит кристалл CuCl / Захаров Н. А., Клюев В. А., Захарова Т. В., Топоров Ю. П., Киселев Р. // Ж. физ. химии. - 2001. - 75 N 3. - С. 481-484. - Рус.

В интервале 20-500°C изучены температурные зависимости удельной теплоемкости C_p и термостимулированной экзоэлектронной эмиссии кристаллов CuCl оптического качества. Обоснован вывод о том, что пики при 375 и 410°C обусловлены соответственно образованием политипов и структурным переходом сфалерит-вюрцит, а пик при 170°C связан с наличием в исследованных криста небольшого количества ионов Cu²⁺.

C_p - на DSC-2M при скорости нагрева 16 K/мин
измерение C_p при 20-500°C приведено только
на мелкомасштабном графике с ординатой
 C_p в относительных единицах



Cu Cl

[Om. 42092]

[2001]

Захаров Н.А., Клюев В.А. и др.

ЖГХ, 2001, т. 75, № 3, с. 481-484

T_{tr},
T_m,
C_p-также
отнс. величина Cu Cl.
на графике

(20 - 500 °C)

$C_p(20 - 500^\circ\text{C})$ - теплоемкость, величина
 $T_{tz} = 375^\circ\text{C}$ - превращение поликристаллическое
 $T_{tr} = 410^\circ\text{C} = 683\text{K}$ - переход сферулит - эвтектика

$$T_m = 422^\circ\text{C} = 695\text{K}$$

изотермическое твердение при 410°C (?)

Плавление - с запасом температура $\geq 422^\circ\text{C}$

Нем. сопоставка на ф. распада по $C_p(\text{CuCe})$?

Al-Cu
partnab
slfgne
Al-Cu u
Al-Cu.
Zaitsev A. T., Zemlyanko O. A.,
Azatyryan N. A., Dunaev S. F. ²⁰⁰⁷
"Thermodynamic properties
of the Al-Cu Melt"

16-ая Межд. конференция по химическим
термодинамикам в России, Грозный, 1-6 июня
2007



Abstracts vol. I, p. 15-74.